



---

# 넥스트폼의 조선해양분야 개발 사례

2019. 09. 27  
(주) 넥스트폼  
김현식 선임연구원



# 목차

## I. 관련실적

1. 캐비테이션	.....	3
2. 수면 Entry/Exit 하중 추정	.....	10
3. PMM 테스트	.....	11
4. 라이저 와유기 진동	.....	14
5. 부가저항	.....	15
6. 고속 활주선	.....	16
7. 슬로싱 해석	.....	17
8. RIBS 해석	.....	20

## II. ESPER개발

1. ESPER 소개	.....	26
2. POW 해석	.....	31
3. 저항해석	.....	32
4. 자항해석	.....	35
5. 고속선 해석	.....	40

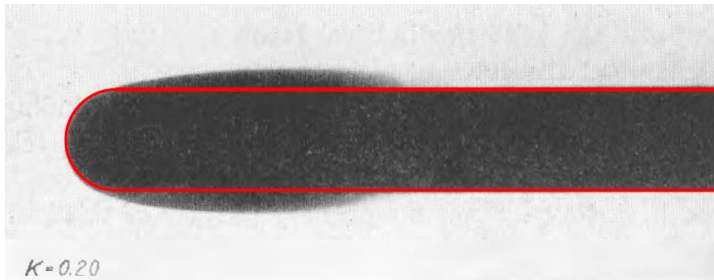


---

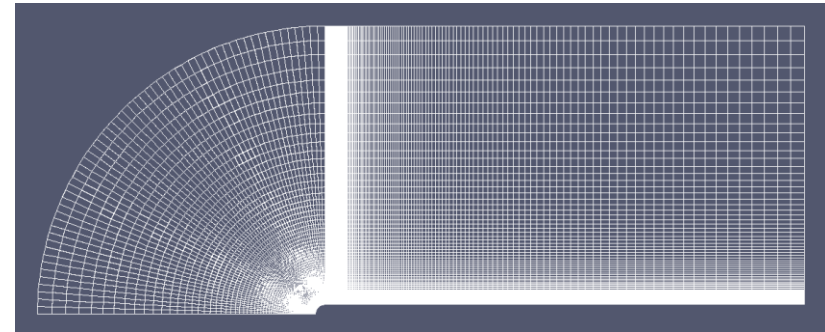
# 관련실적

# 관련실적-1

- Rouse and McNown(1948) experiment
  - Cavitation on head shape geometry
    - Hemispherical head
  - $Re=2.1e^5$



- Calculation conditions
  - 2D axisymmetric grid
  - Number of grid : 21000

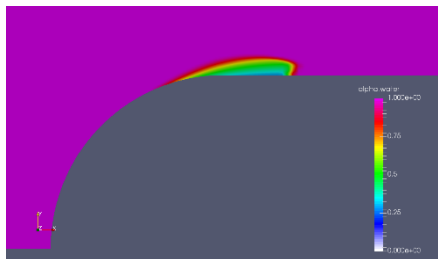


- Boundary conditions

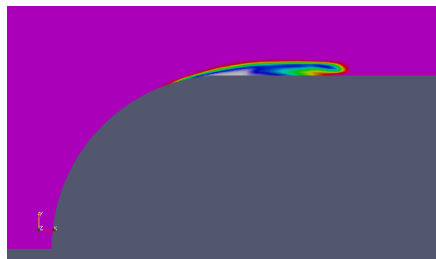
Inlet velocity	8.2966 m/s	
Outlet pressure	19516 Pa	12645 Pa
Cavitation number	0.5	0.3

- Time increment (unsteady)
  - 1e-5 seconds

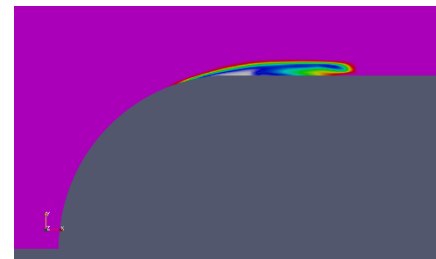
- Calculation results ( $\sigma = 0.5$ , unsteady)



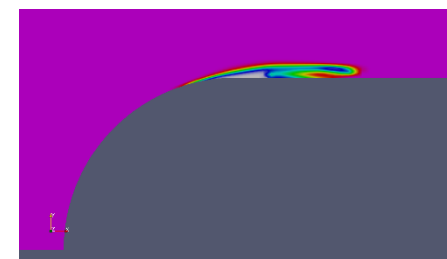
Kunz



Merkle

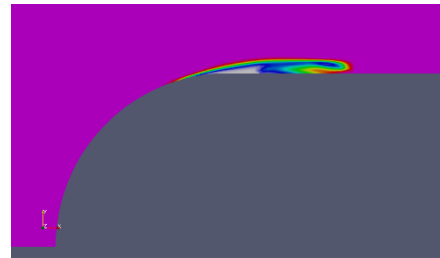
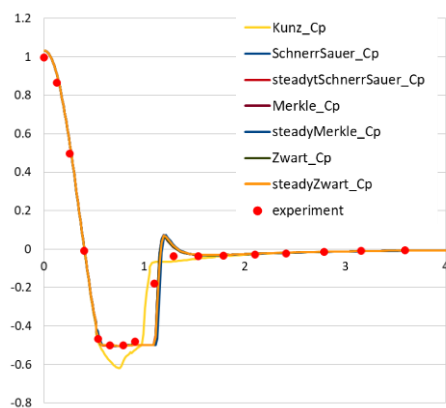


SchnerrSauer

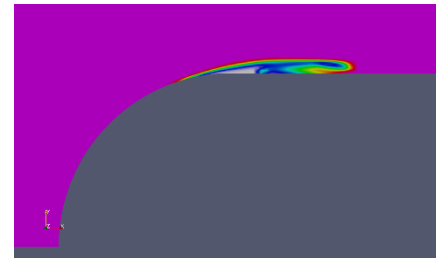


Zwart

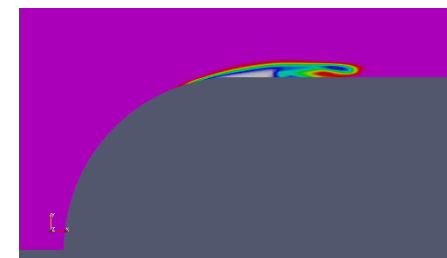
- Calculation results ( $\sigma = 0.5$ , steady)



Merkle



SchnerrSauer

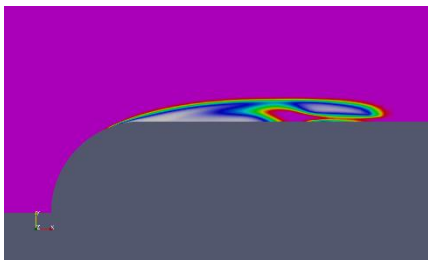


Zwart

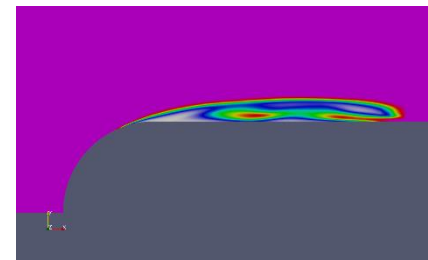
- Calculation results ( $\sigma = 0.3$ , unsteady)



Kunz



Merkle

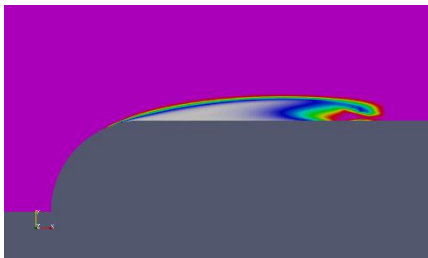
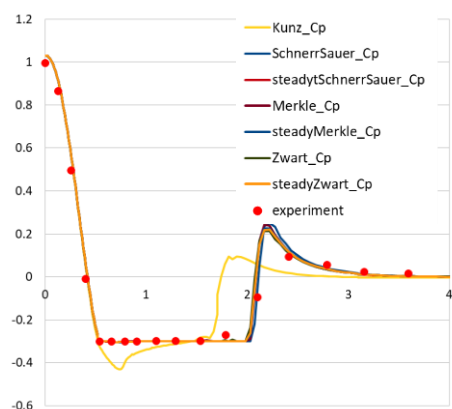


SchnerrSauer

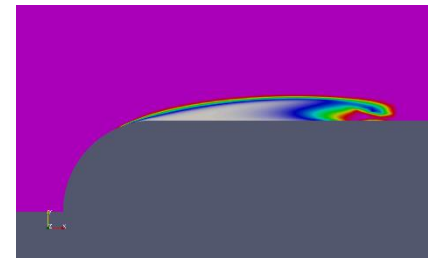


Zwart

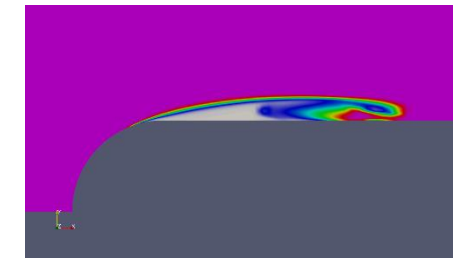
- Calculation results ( $\sigma = 0.3$ , steady)



Merkle



SchnerrSauer



Zwart

- 선박 Cavitation

- snappyHexMesh

- Sliding mesh

- Cavitation model

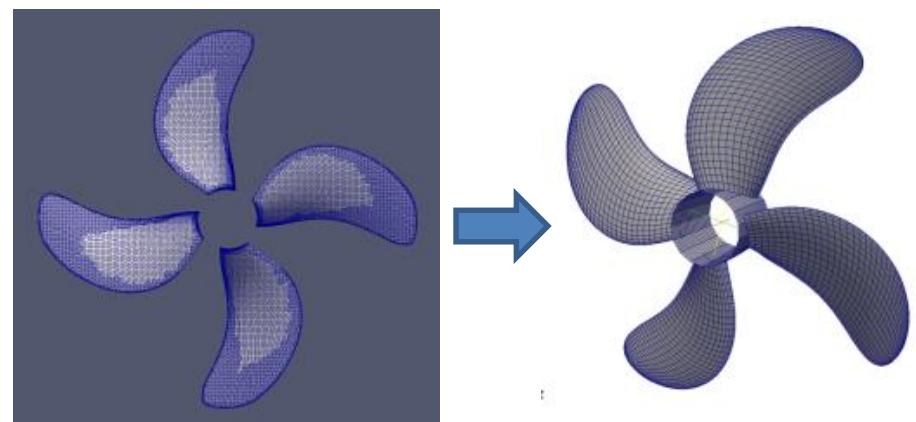
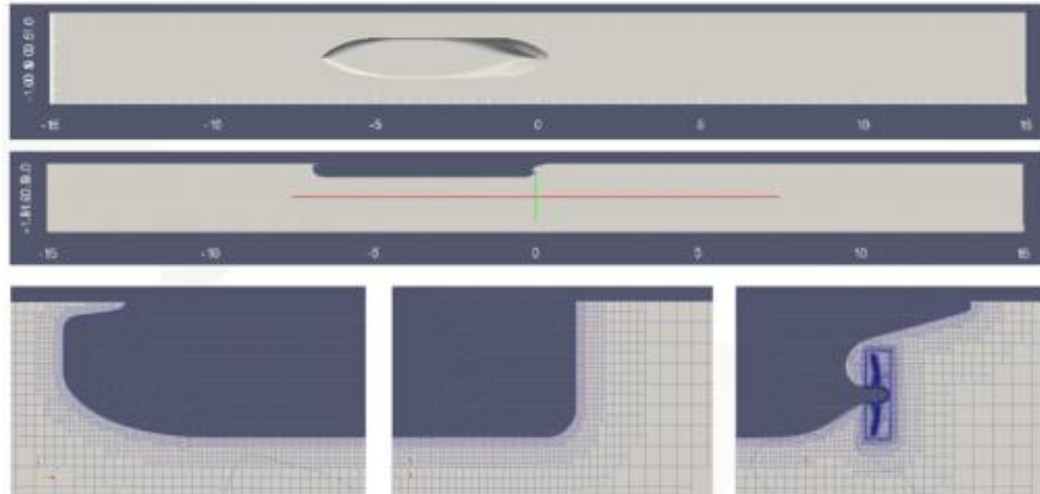
- Schnerr-Sauer

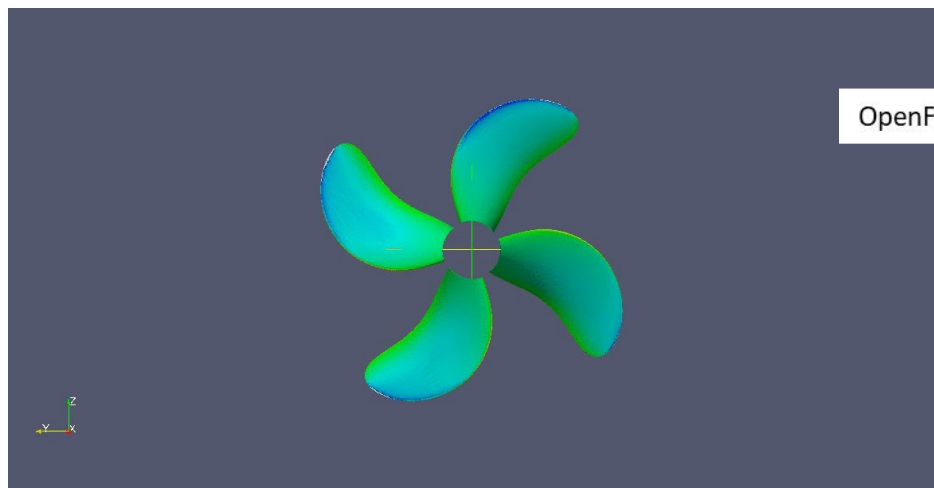
- KRISO 실험 및 계산 결과와 비교

- 소음 해석 코드와 연동**

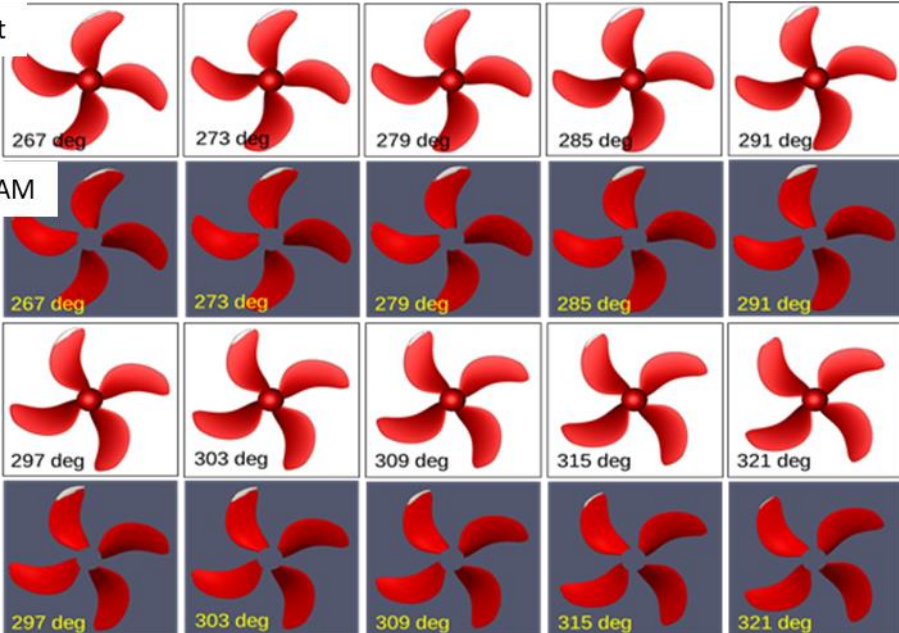
- CFD 결과 BEM code input으로 mapping

- 소음 계산

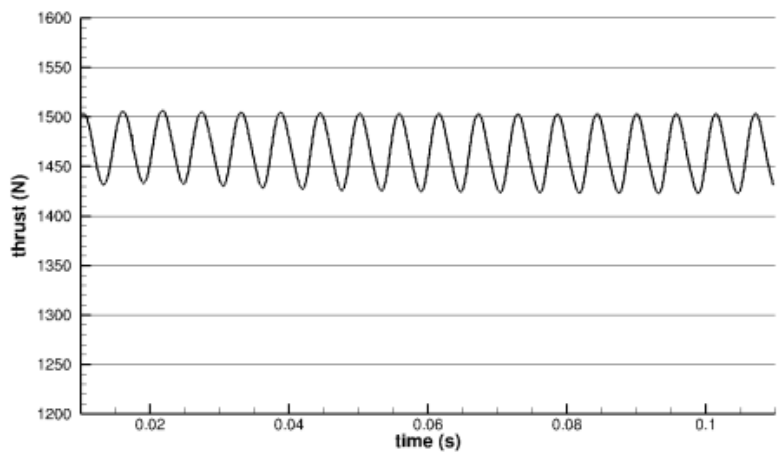
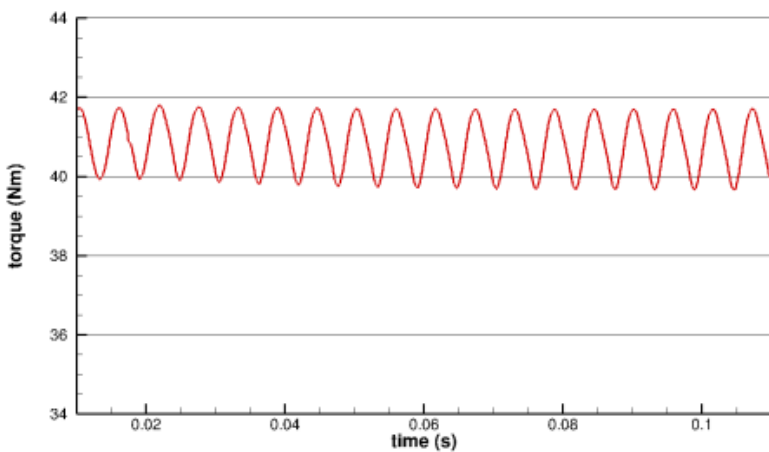




Fluent

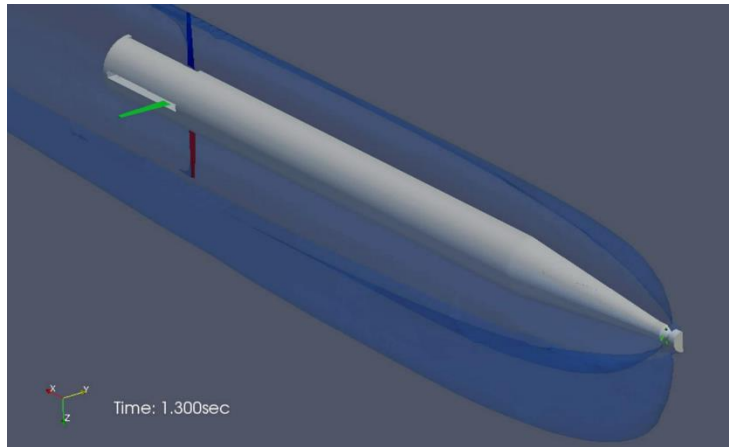


OpenFOAM



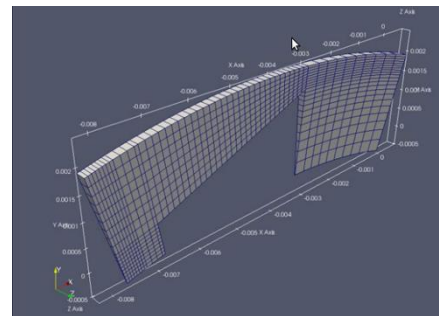
## • 초공동 수중체의 제어판 전개 해석

- interPhaseChangeDyMFoam  
기반(OpenFOAM 2.4.0)
- Multiphase Model
  - VOF(non-condensible gas 포함)
  - Cavitation Model : Kunz Model

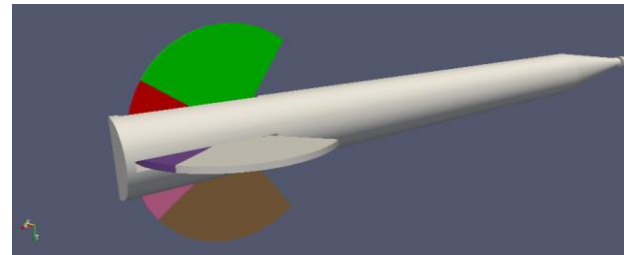


## • dynamicMesh

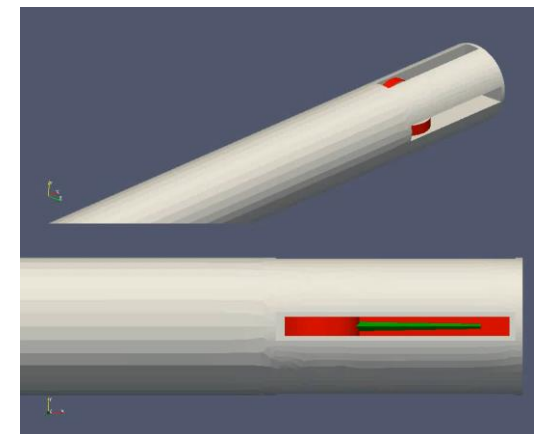
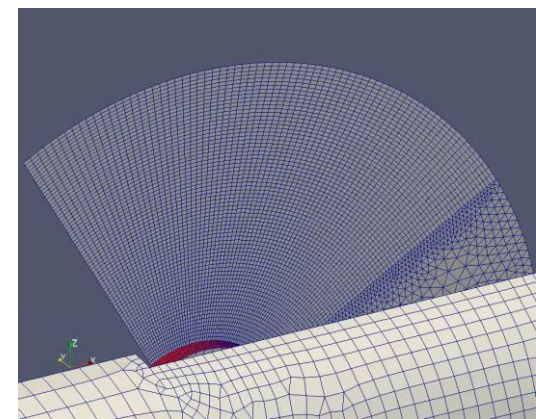
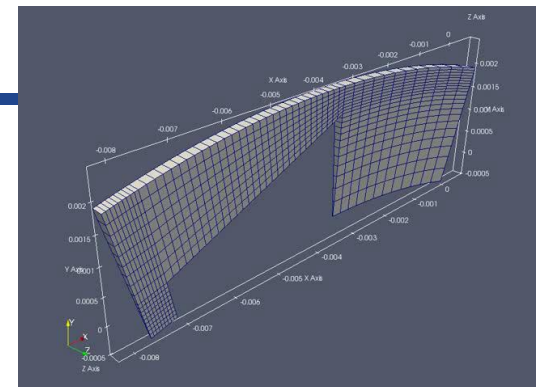
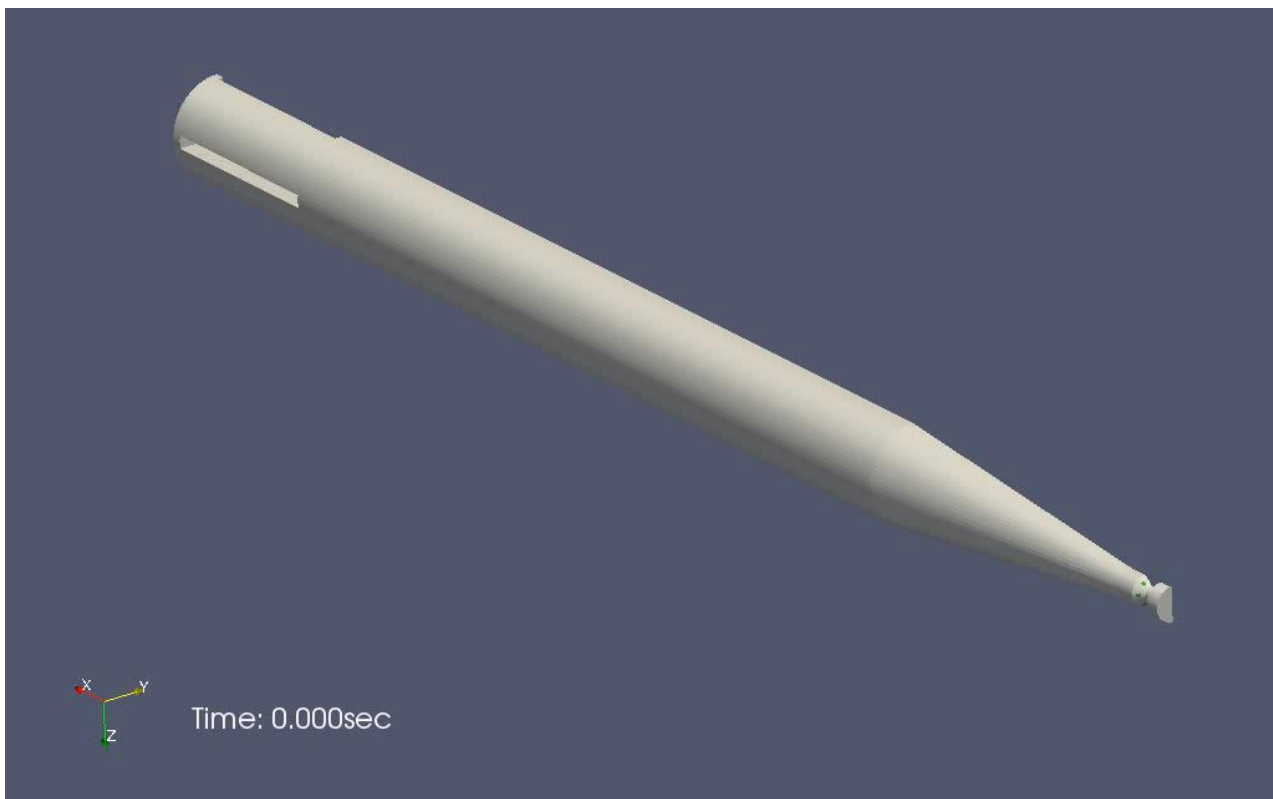
- Layering 기법 적용
- foam-extend-3.2 version의 multiTopoBodyFvMesh library 활용



## – AMI interface 설정



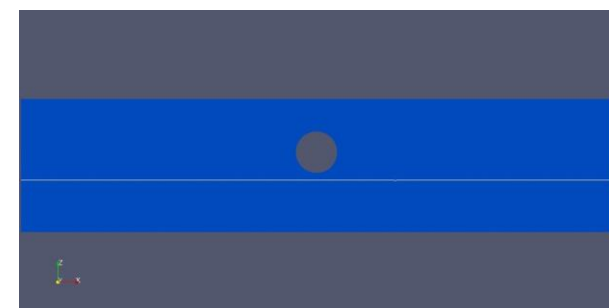
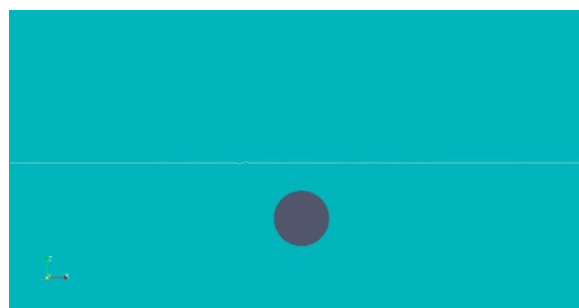
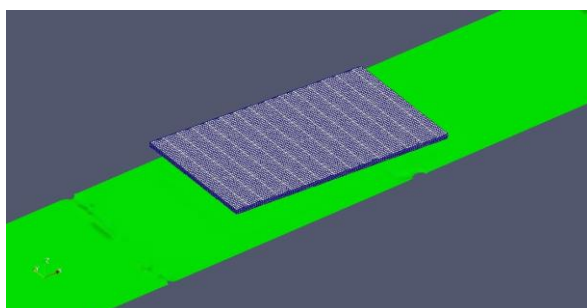
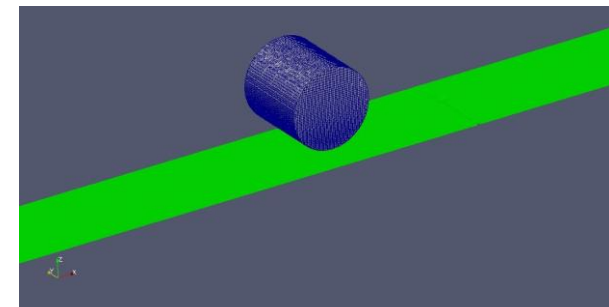
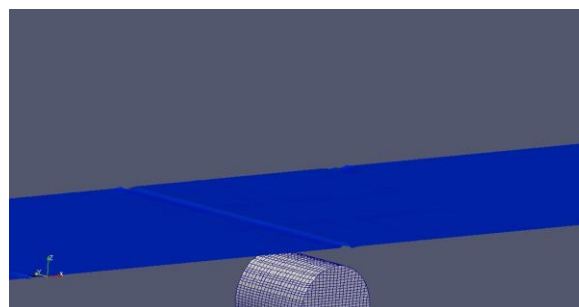
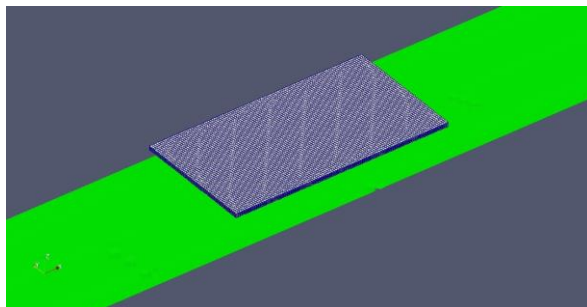
- 초공동 수중체의 제어판 전개 해석 결과





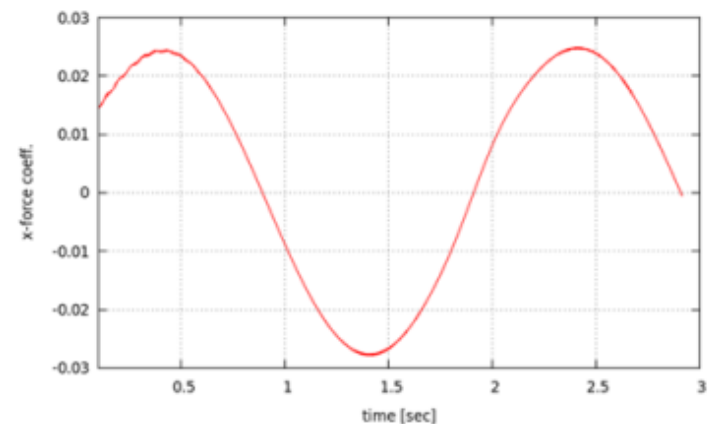
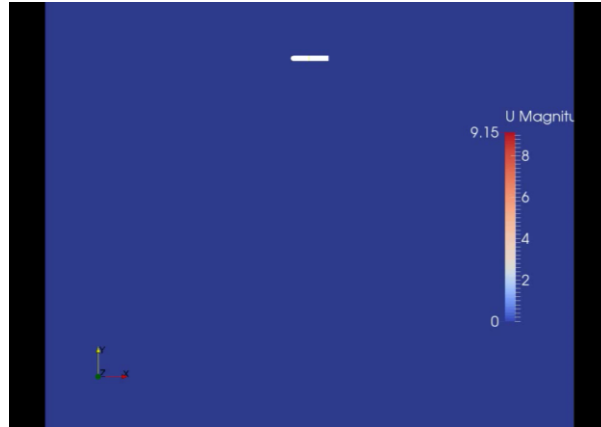
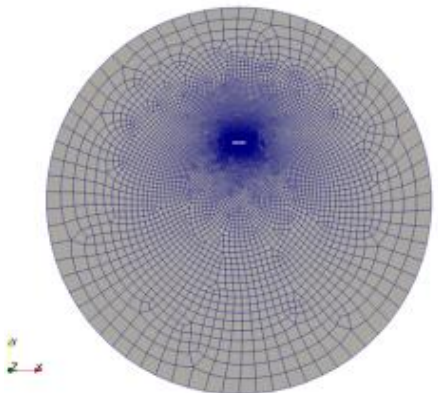
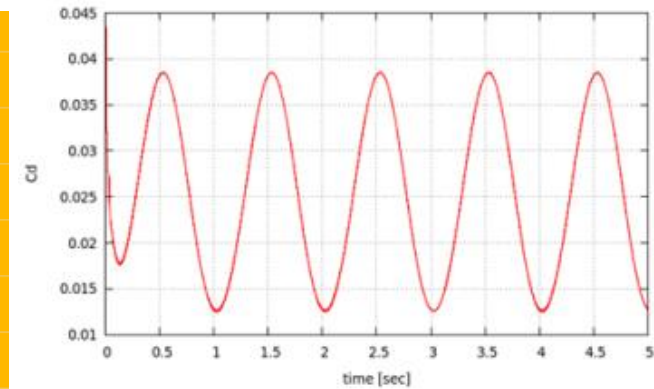
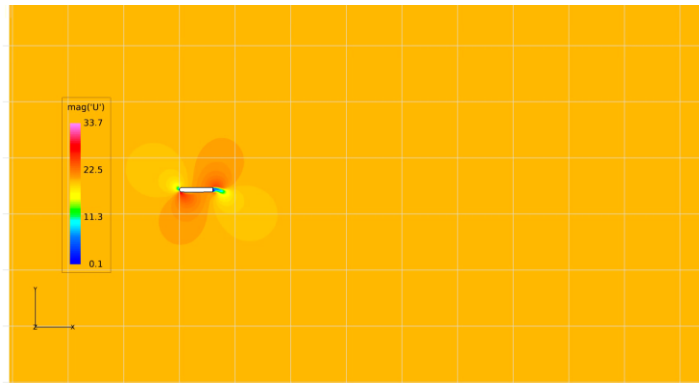
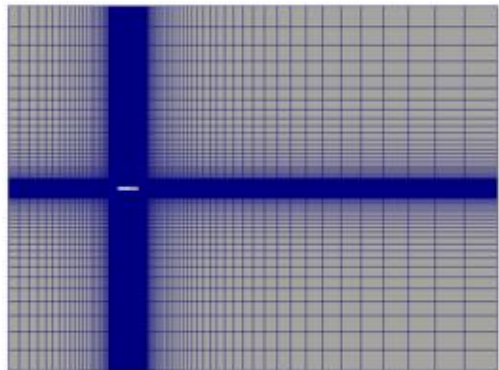
## 관련실적-2

- Water Entry / Exit loading 추정



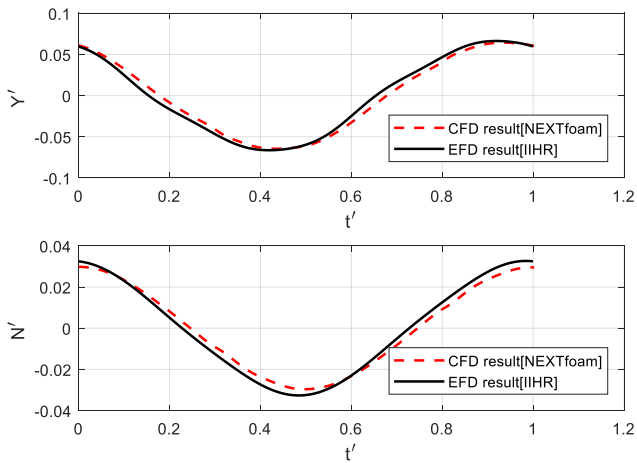
## 관련실적-3

- 2D-PMM
  - Pure-sway / Rotating arm

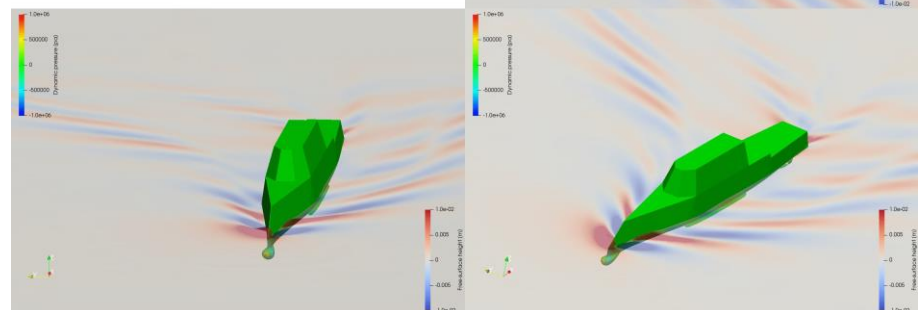
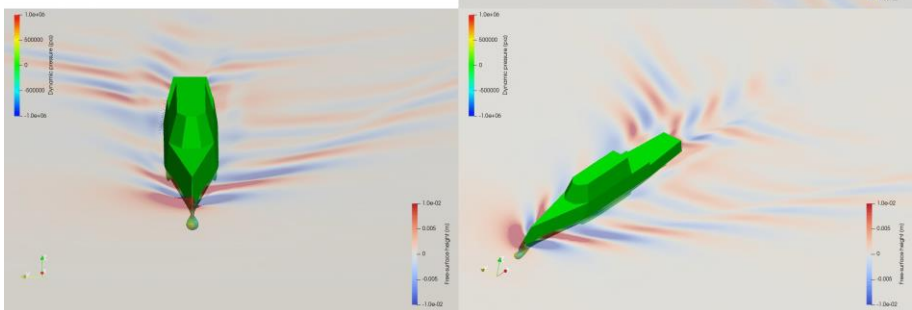
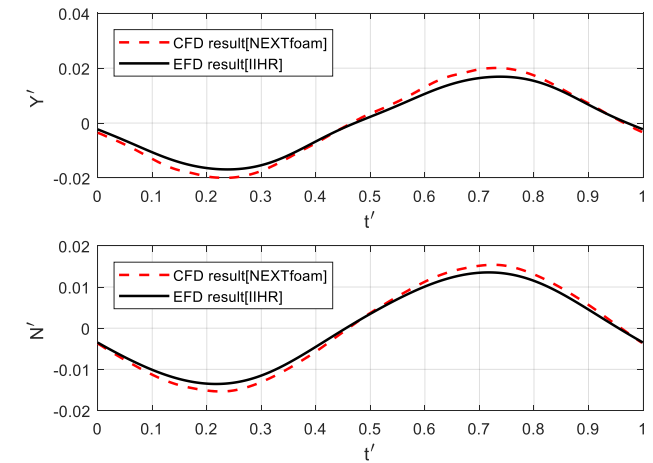


- 3D-PMM

Pure sway result

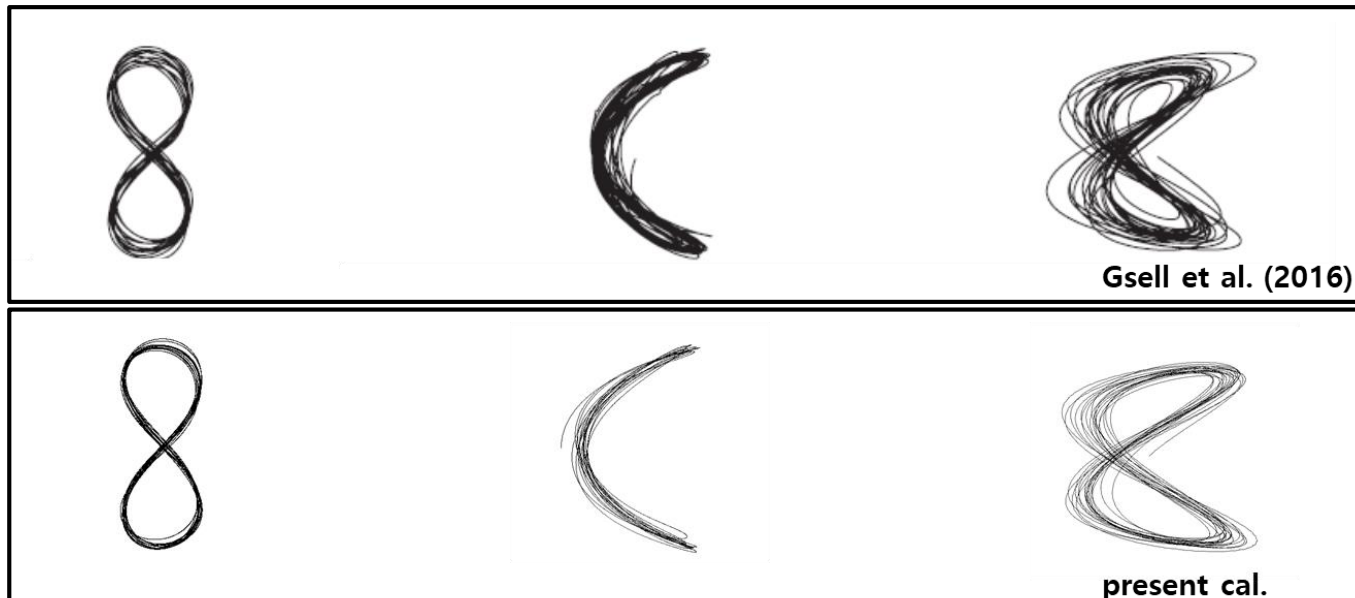
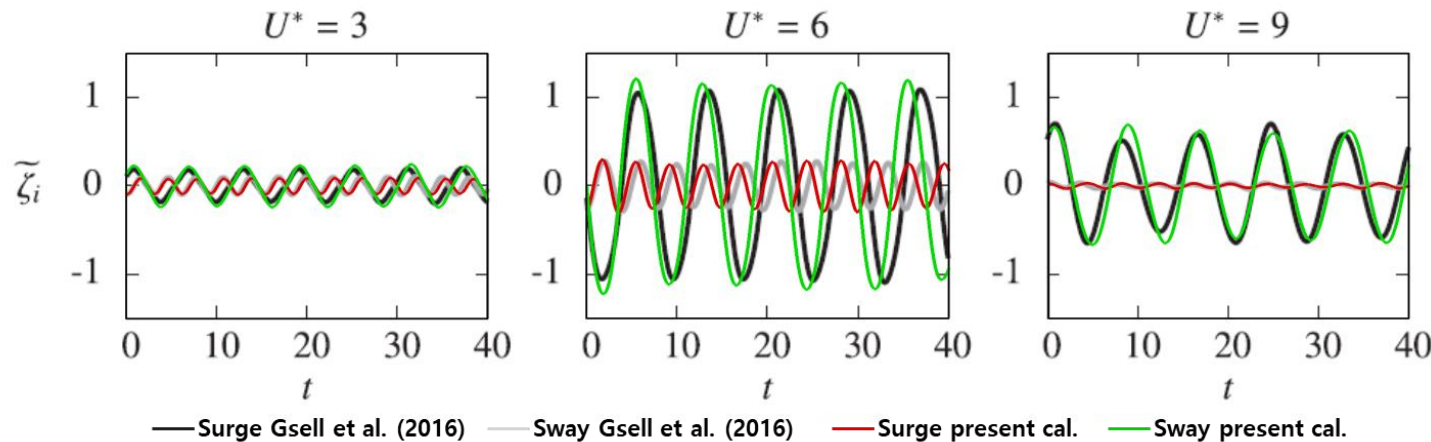


Pure yaw result

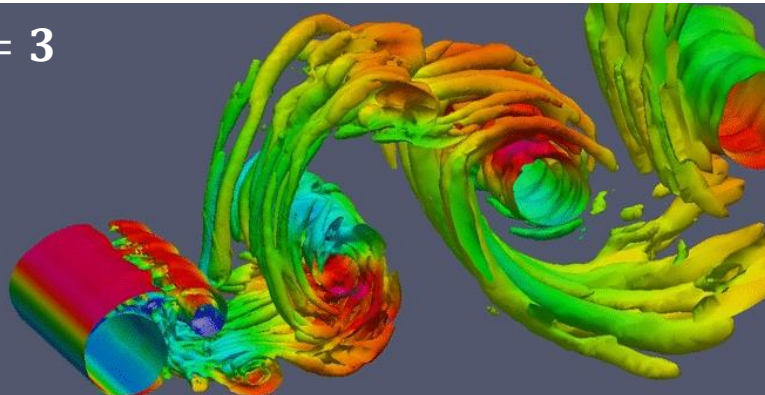


## 관련실적-4

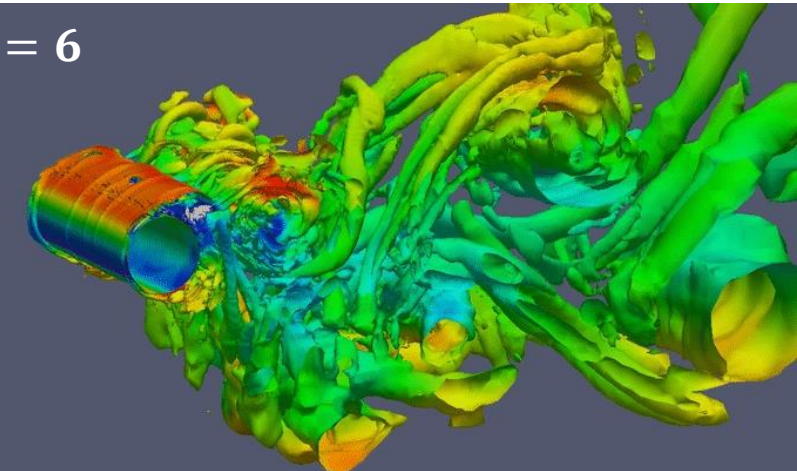
- 라이저 와유기 진동: 2자유도 라이저 ( $Re=3900$ )



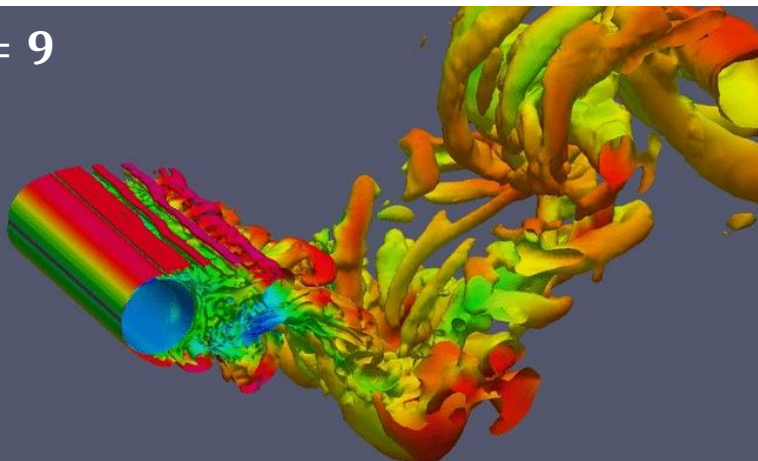
$U_{red} = 3$



$U_{red} = 6$

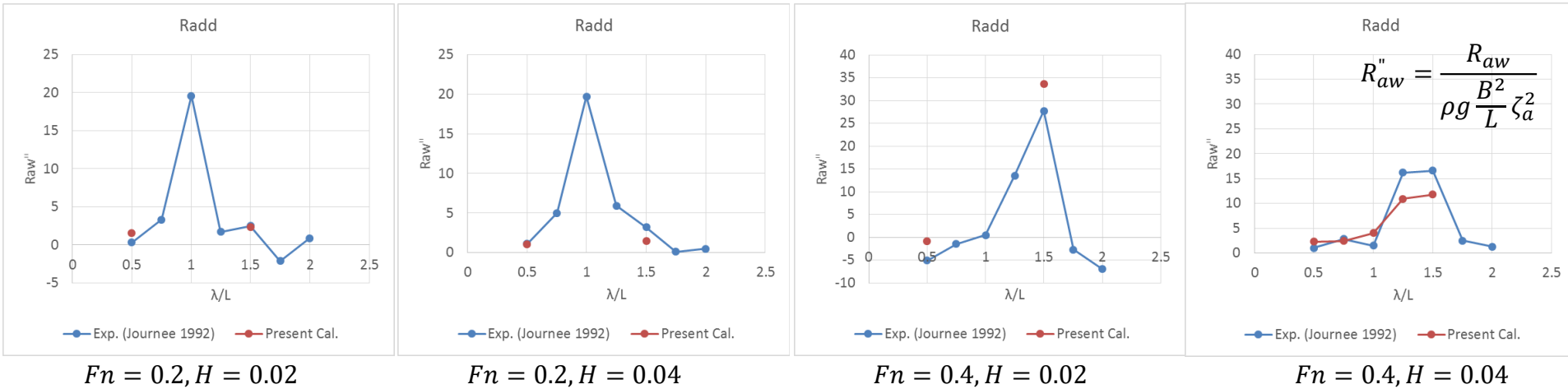
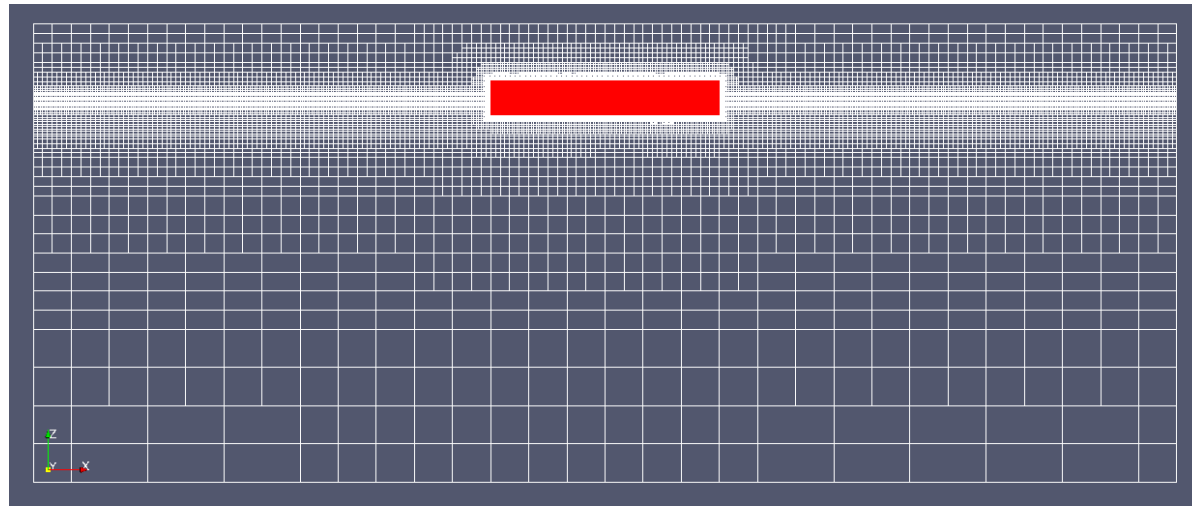


$U_{red} = 9$



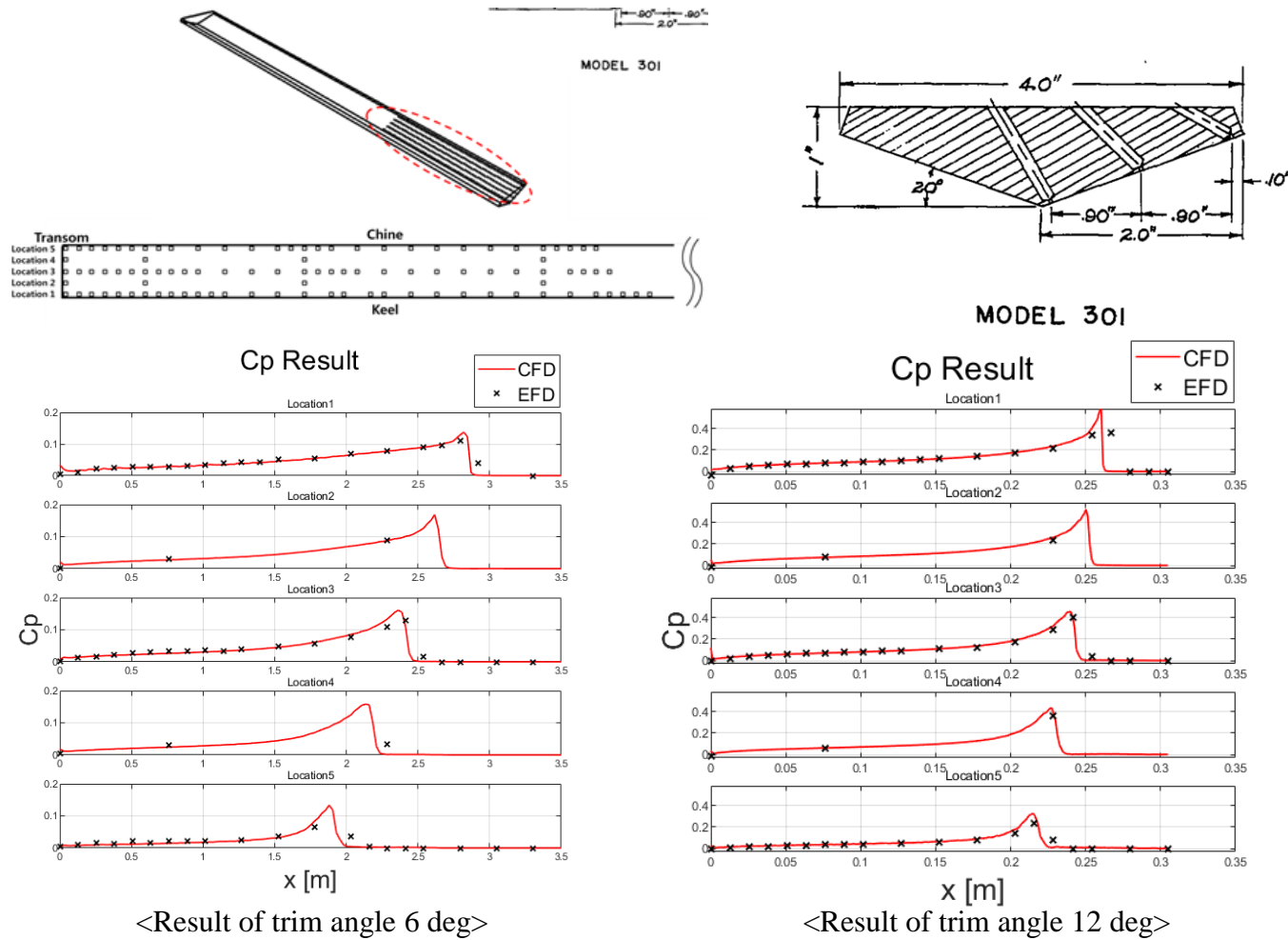
## 관련실적-5

- 부가저항
  - Wigley-III hull



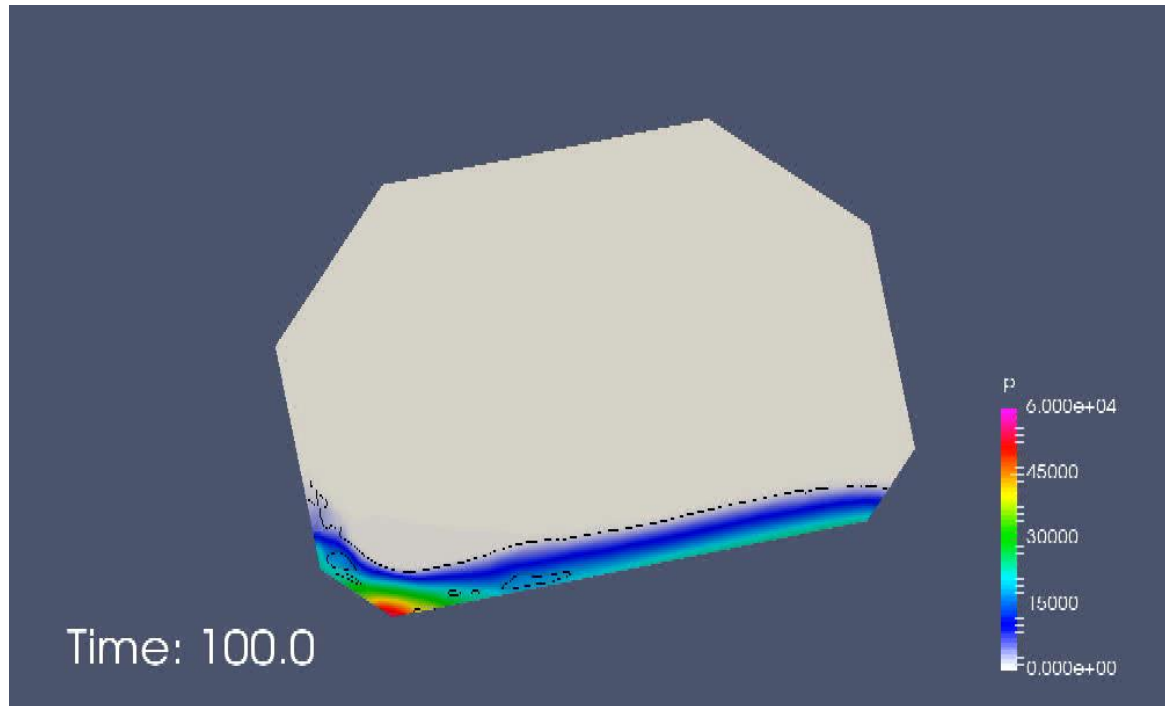
## 관련실적-6

- 고속 활주하는 주상체의 선저압력 추정
  - Model 301



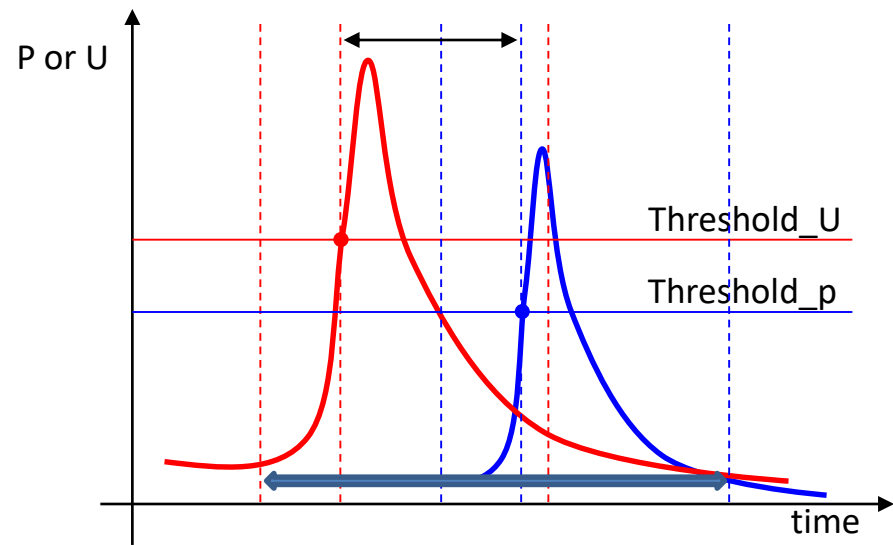
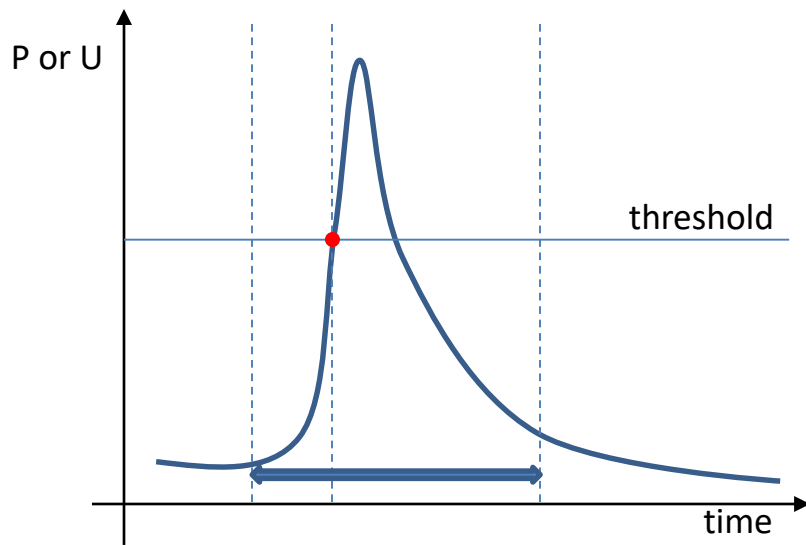
## 관련실적-7

- 슬로싱 유동 해석
- interDyMFoam
  - OpenFOAM의 표준 솔버 (버전 : 2.4)
  - 동적격자를 포함하는 비압축성 2상 유동 해석

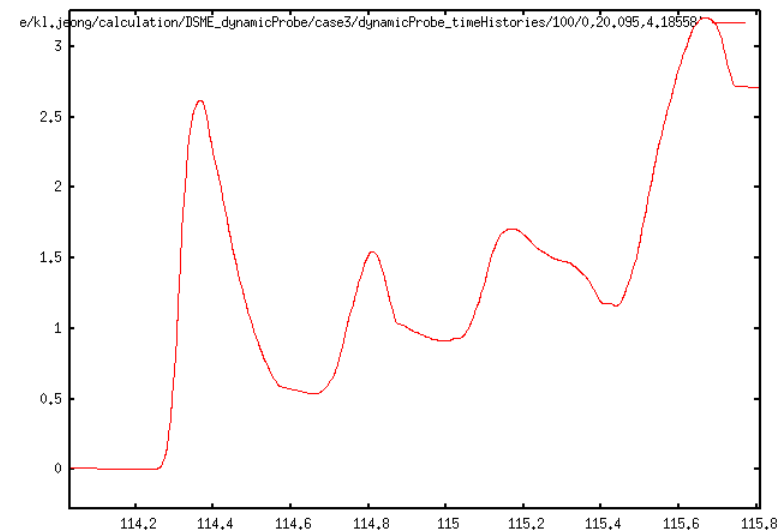
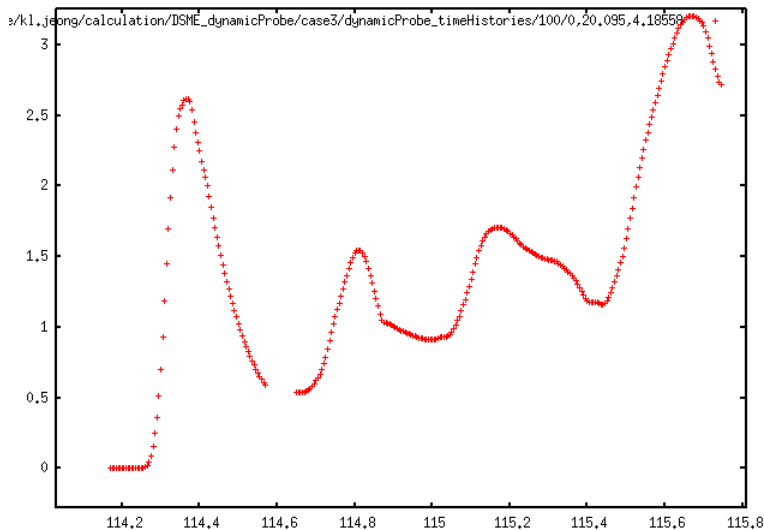
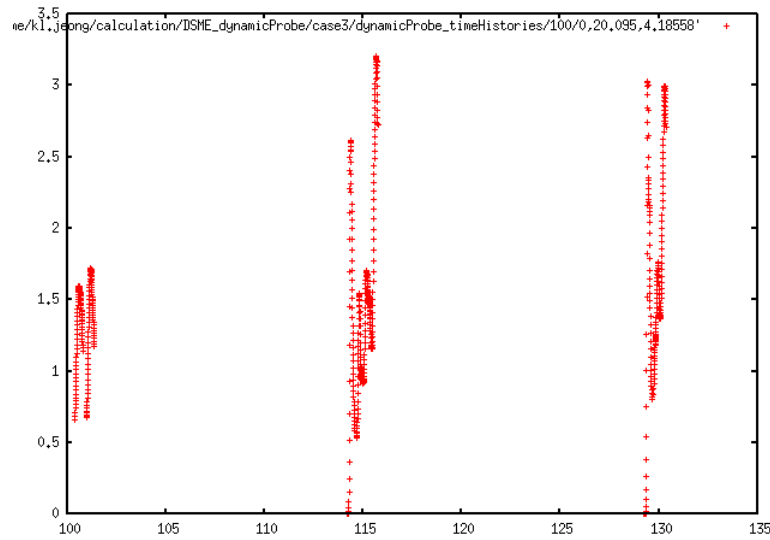


## 결과파일출력 조건

- 위치 : 벽면에서 수직방향으로 일정거리 떨어진 위치
- 대상 : 압력과 벽면에 수직한 물의 속도
- 조건 :
  - 특정압력을 넘어가는 시간을 기준으로 전후 몇 초간 (p)



- 출력파일 가시화



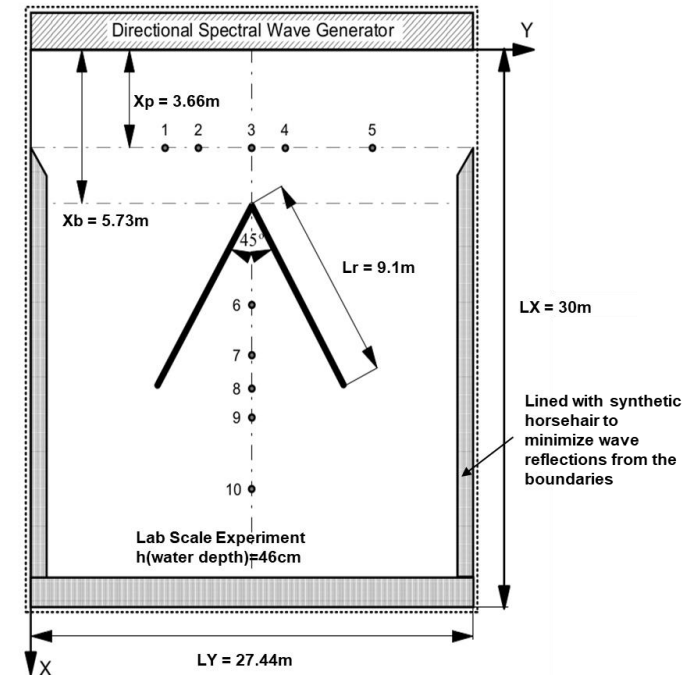
## 관련실적-8

- RIBS 해석 프로그램 개발
  - RIBS 구조물의 운동해석
  - 구조물의 6DoF 운동해석
  - 해석 조건 :
    - Regular wave, Irregular wave

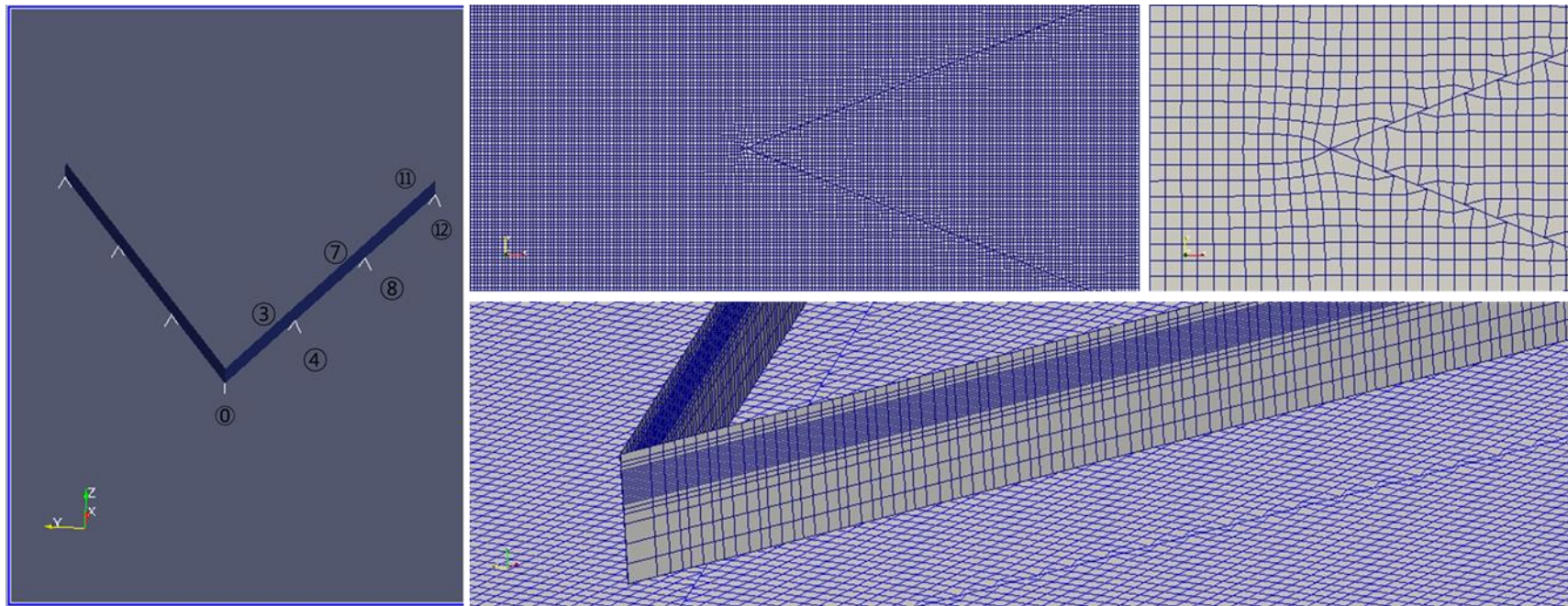
### Rapidly Installed Breakwater System



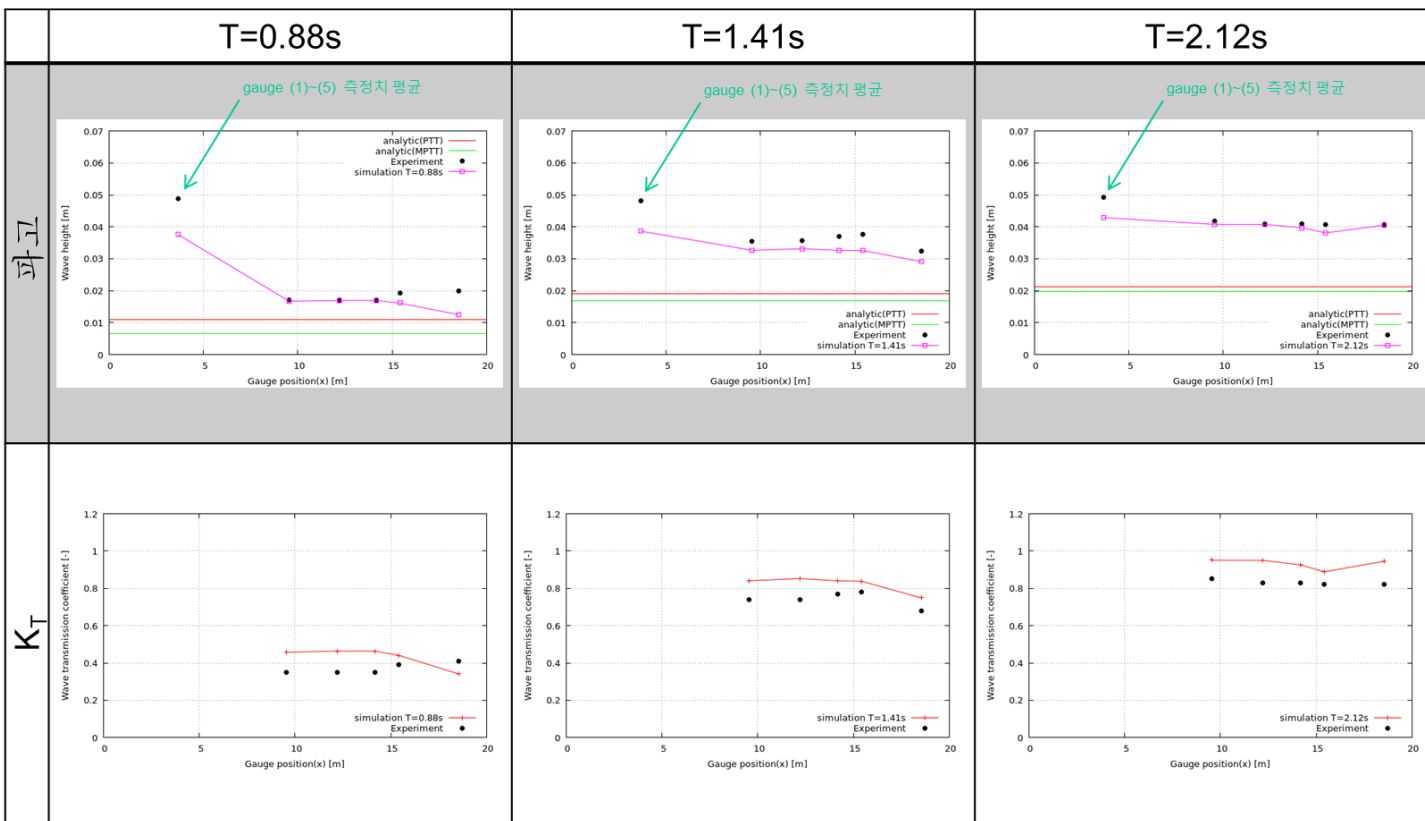
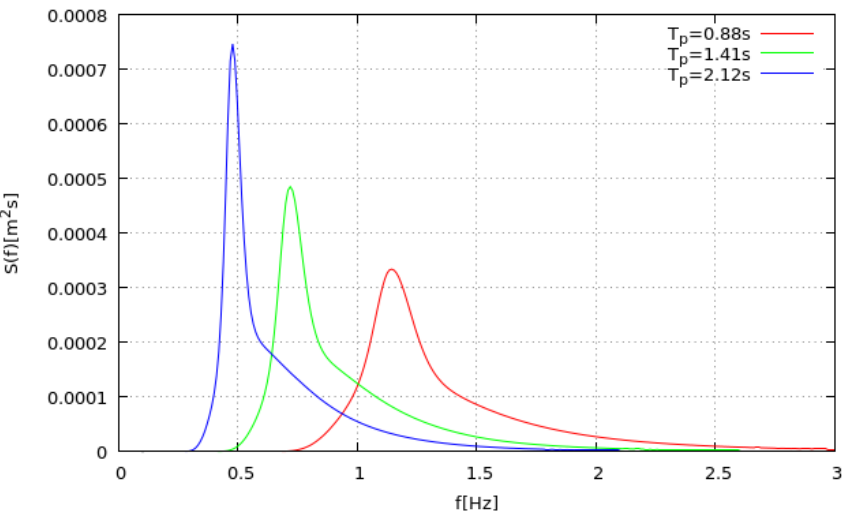
Figure 1. Rapidly Installed Breakwater System (RIBS) concept.



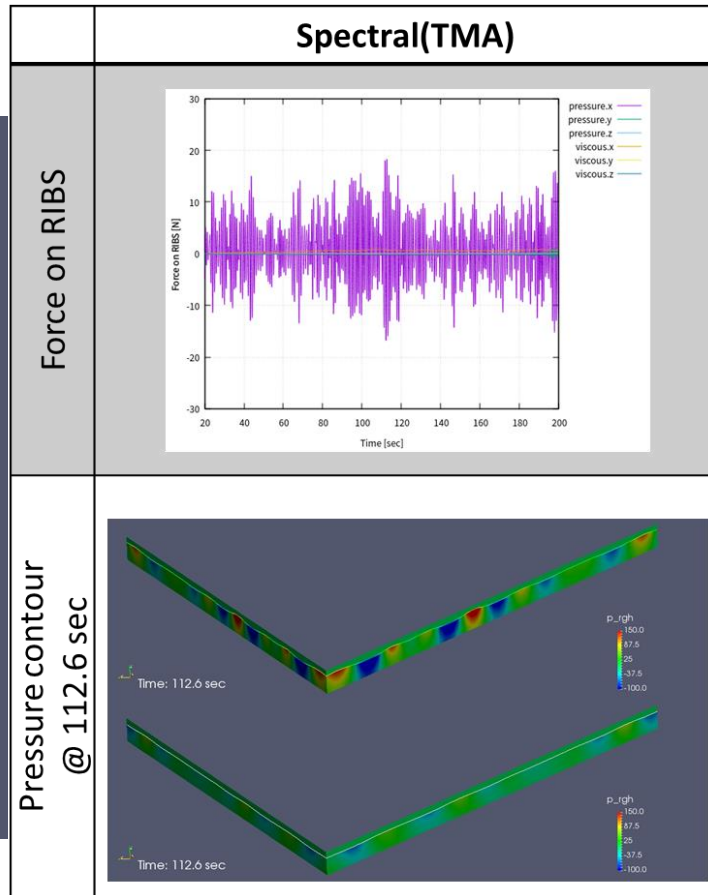
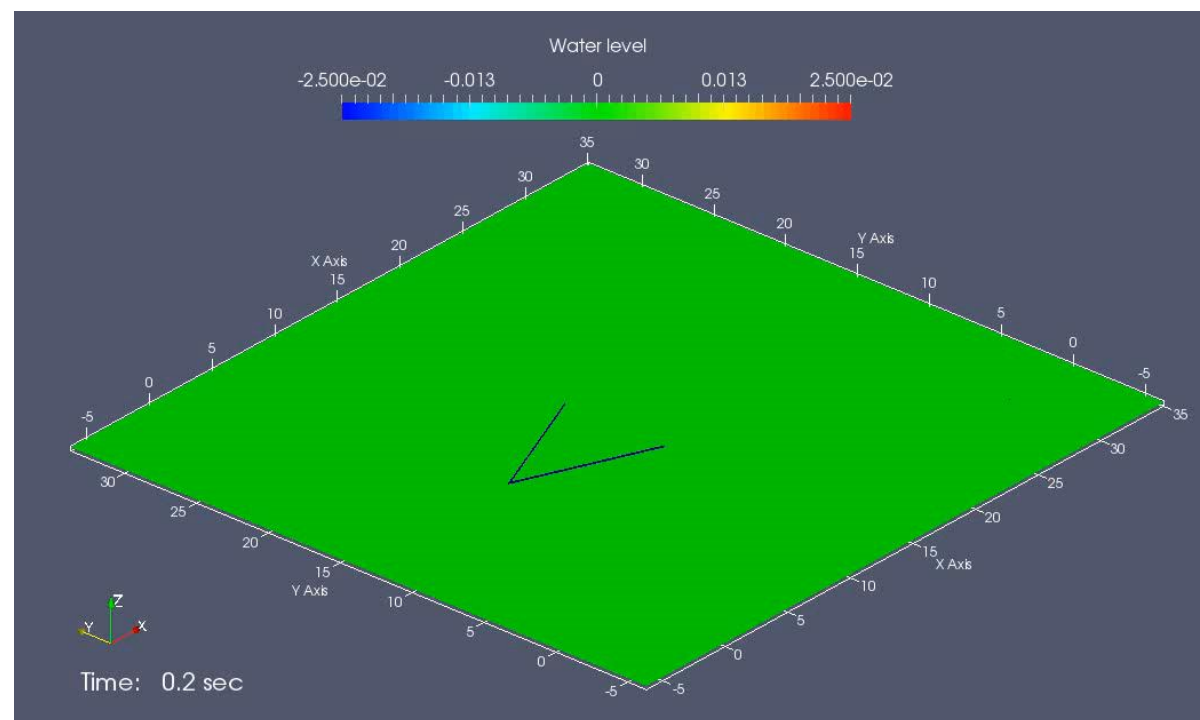
- Mooring 및 격자 구성



- TMA spectrum

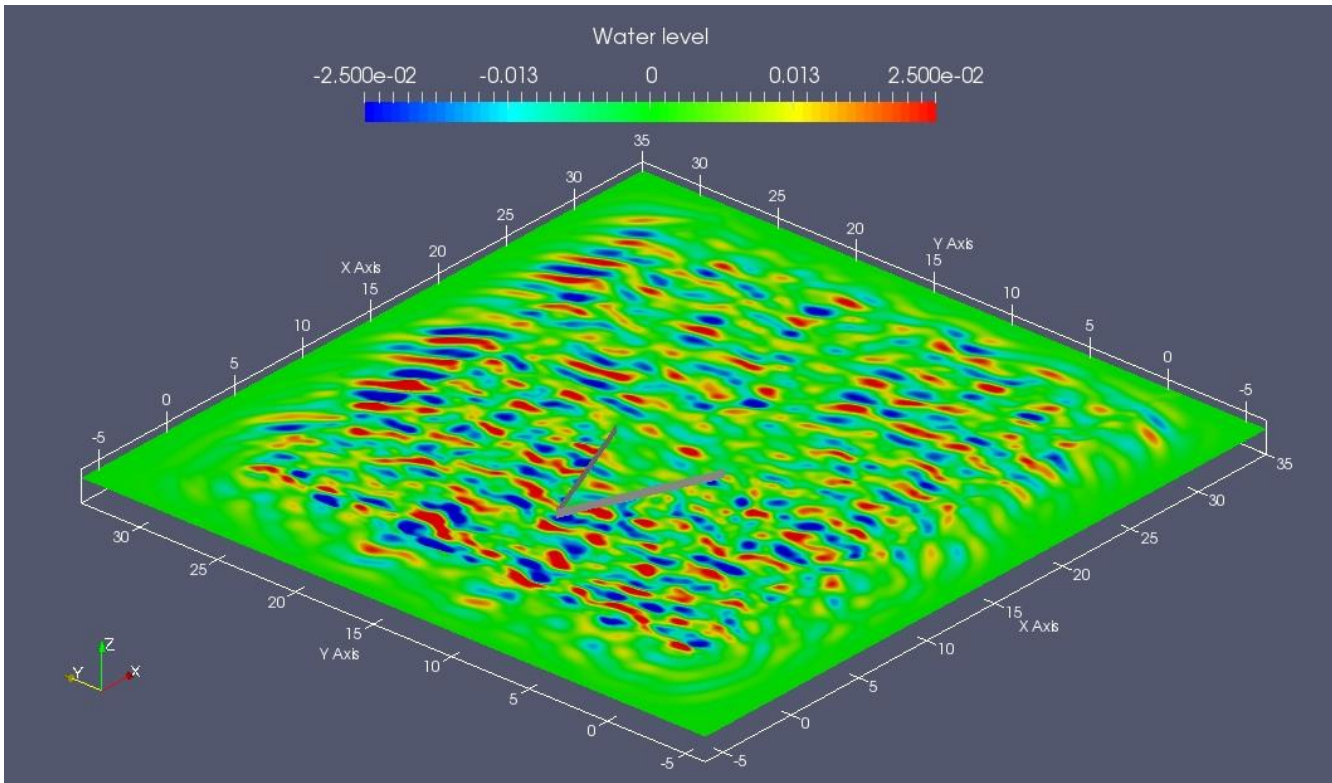


- Water level (T : 0.88s)



## • 다방향 불규칙파 해석

- Water depth( $h$ ) : 46cm
- Wave height( $H$ ) : 4.8cm
- Period( $T$ ) : 1.41s
- TMA spectrum
- Frequency division :  $N_f = 300$  (0.1 ~ 3.0Hz)
- Direction division :  $M_\theta = 40$  (-90° ~ 90°)
- Mean direction :  $\theta_m = 0^\circ$
- $\sigma_m = 30^\circ$





# ESPER

## Estimating Ship PERformance



# ESPER 구성

- 2 solvers
  - Single phase incompressible steady solver
  - Two phase incompressible unsteady solver
- 3 libraries
  - Dynamic mesh library for running attitude
  - Dynamic mesh library for rotating propeller
  - Actuator disk library

Problem	Free surface treatment	Time dependency	Propulsion	Solver	Library
POW	-	Steady	MRF	Single phase	-
Resistance	Double body	Steady	-	Single phase	-
	Free surface	Unsteady	-	Two phase	Running attitude
Propulsion	Double body	Steady	Actuator disk	Single phase	Actuator disk library
		Unsteady	Sliding mesh	Single phase	Running attitude + rotating propeller
	Free surface	Unsteady	Actuator disk	Two phase	Actuator disk library
		Unsteady	Sliding mesh	Two phase	Running attitude + rotating propeller

# CFD solver 안정화

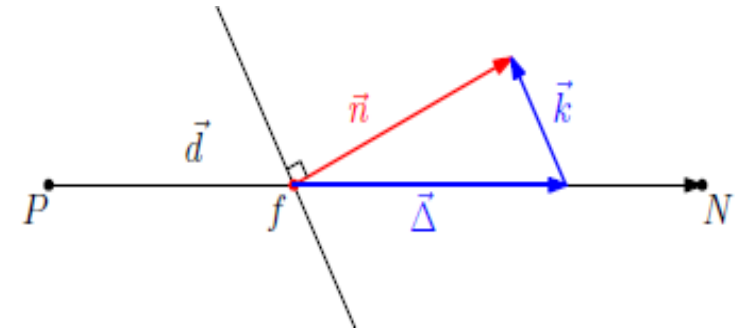
- Pressure correction

- Poisson equation

$$\nabla^2 p = s$$

- Explicit treatment of pressure gradient

$$\nabla^2 p = \nabla \cdot (\vec{n} \cdot (\nabla p)_f)$$



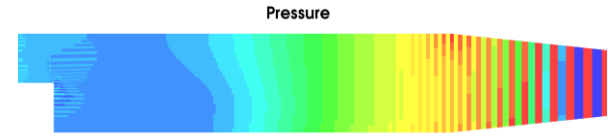
$$\sum S(\vec{n} \cdot (\nabla p)_f) = \sum S \left( |\vec{\Delta}| \frac{p_N - p_P}{|\vec{d}|} + \vec{k} \cdot (\nabla p) \right)$$



$$\sum S(\vec{n} \cdot (\nabla p)_f) = \sum S \left( |\vec{\Delta}| \frac{p_N - p_P}{|\vec{d}|} + \vec{k} \cdot (\nabla p)_{old} + \alpha \{ \vec{k} \cdot (\nabla p)_{new} - \vec{k} \cdot (\nabla p)_{old} \} \right)$$

## • Rhee-Chow interpolation

- Collocated grid에서 checker boarding을 제거하기 위한 기법
- OpenFoam 표준 솔버 : delayed pressure discretization method
- 본 과제 개발 솔버 : Rhee-Chow interpolation method



	original	modified
1. solve momentum equation and get $\vec{U}^*$	$a_P \vec{U}_P = H(\vec{U}) - V_P (\nabla p)_P$	$a_P \vec{U}_P = H(\vec{U}) - V_P (\nabla p)_P$
2. interpolate pseudo-velocity to get mass flow rate	$F^* = \left\{ \frac{H(\vec{U}^*)}{a} \right\}_f \cdot \vec{S}_f$	$F^* = \left\{ \vec{U}^* + \frac{V_P}{a_P} (\nabla p)_P \right\}_f \cdot \vec{S}_f$
3. solve pressure equation and get $p^*$	$\nabla \cdot \left( \frac{V}{a} \nabla p \right) = \sum_f F^*$	$\nabla \cdot \left( \frac{V}{a} \nabla p \right) = \sum_f F^*$
4. correct mass flow rate	$F^{new} = F^* - \left( \frac{V}{a} \right)_f  \vec{S}_f  \vec{n} \cdot (\nabla p^*)_f$	$F^{new} = F^* - \left( \frac{V}{a} \right)_f  \vec{S}_f  \vec{n} \cdot (\nabla p^*)_f$
5. original: under-relax pressure modified: correct velocity	$p^{new} = p^{old} + \alpha_p (p^* - p^{old})$	$\vec{U}_P^{new} = \vec{U}_P^* - \frac{V_P}{a_P} (\nabla p')_P$
6. original: correct velocity modified: under-relax pressure	$\vec{U}_P^{new} = \frac{H(\vec{U}^*)}{a_P} - \frac{V_P}{a_P} (\nabla p^{new})_P$	$p^{new} = p^{old} + \alpha_p (p^* - p^{old})$

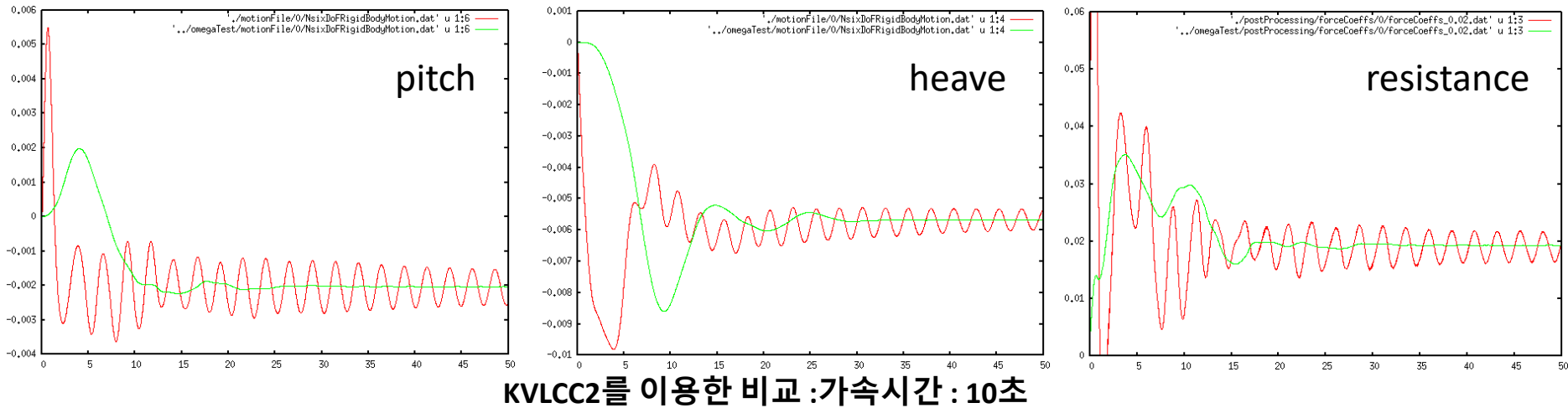
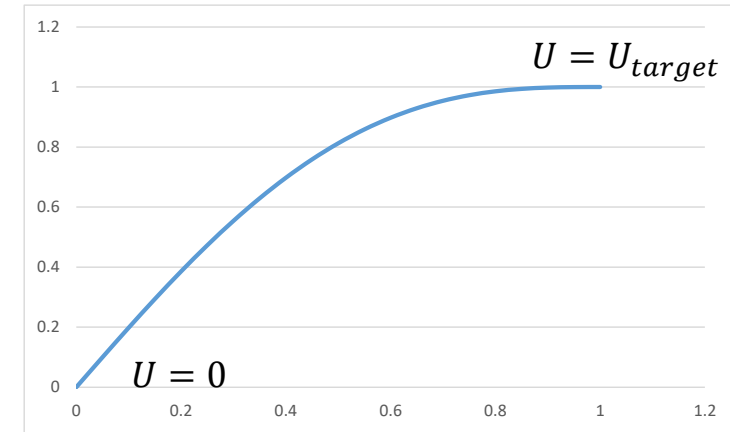
# 저항/자항 해석시간 단축

- Impulsive start VS. slow start

- Impulsive start : 유속 초기 값을 선속으로 설정
- Slow start : 유속 초기값을 '0'으로 설정, 점진적 가속

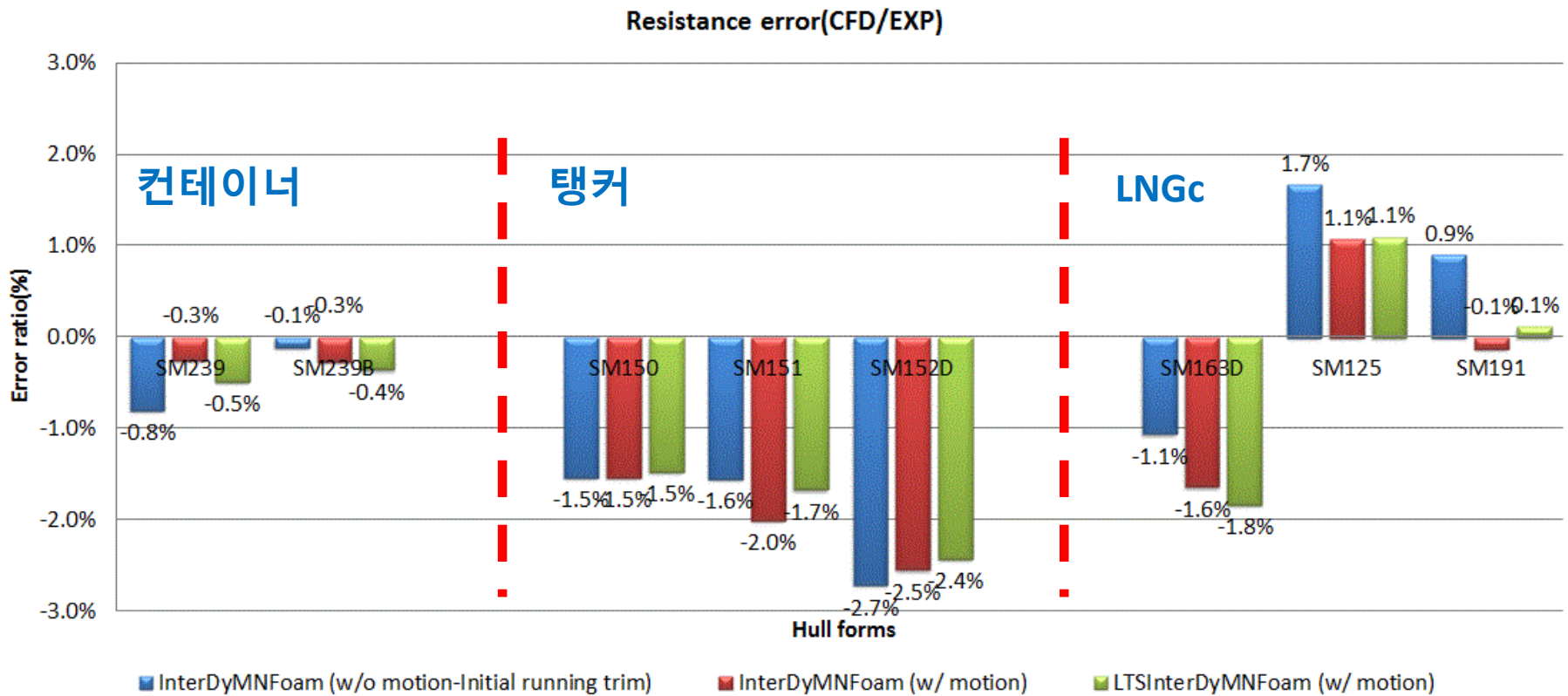
- 계산초기 선체운동의 처리

- 특정 시간 이전의 운동을 구속
  - 운동을 자유롭게 하면 초기에 운동이 과도하게 계산
- Ramp time을 지정하여 초기 가속도를 감소
  - 항주자세 계산속도가 향상됨

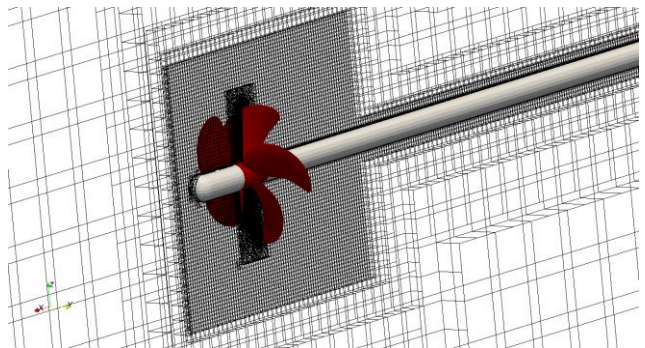


# 삼성중공업 저항해석 적용사례

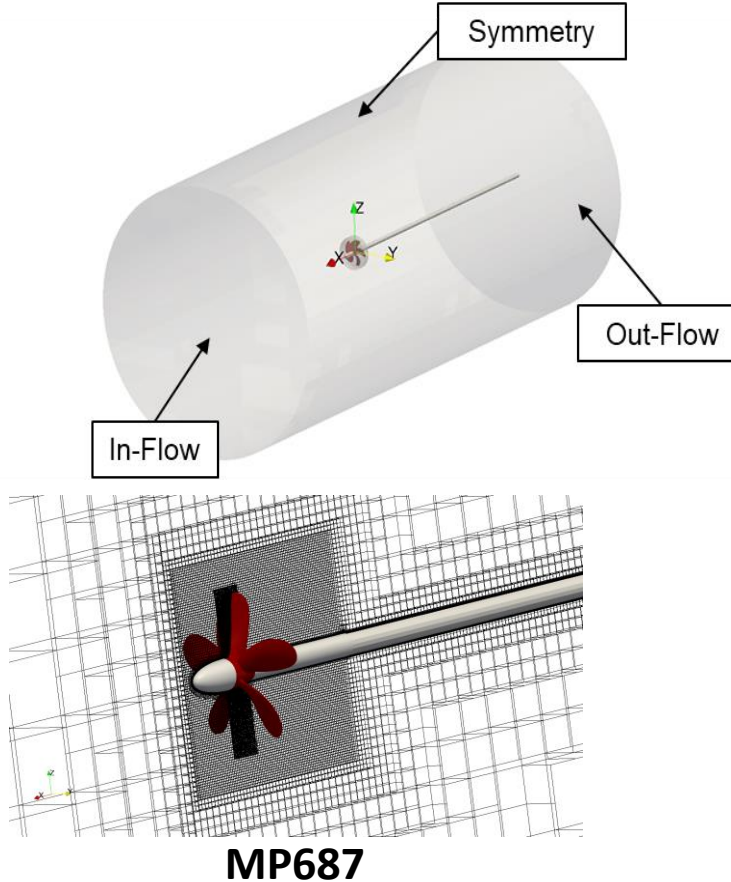
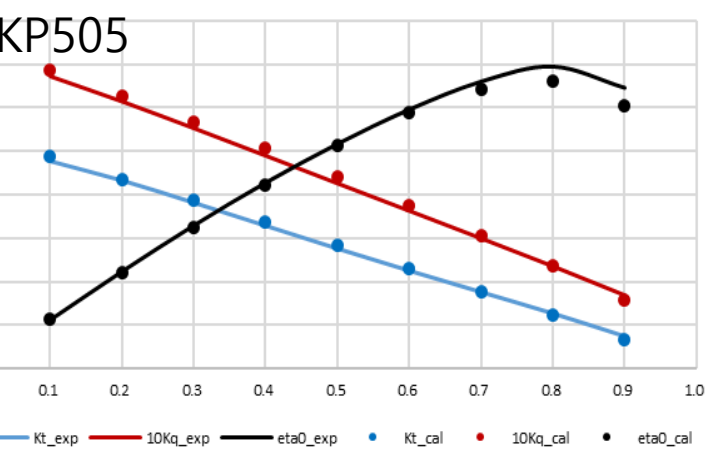
- 총 8척
  - 컨테이너 2척, 탱커 3척, LNGc 3척



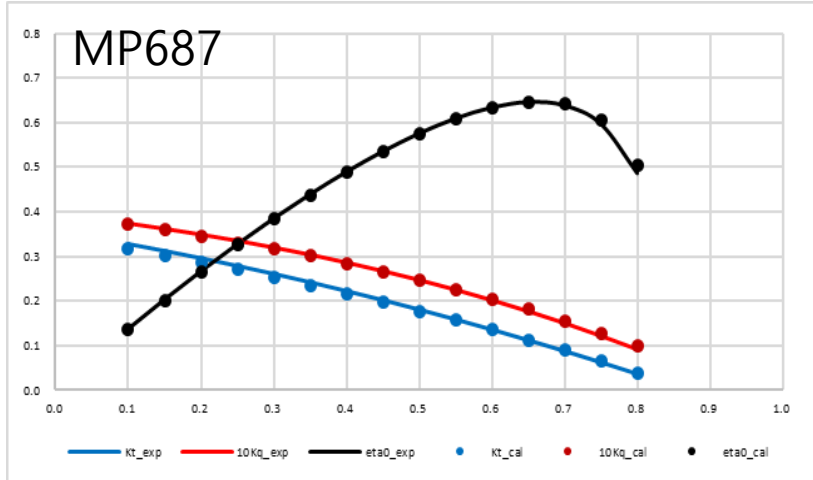
# POW 해석



KP505



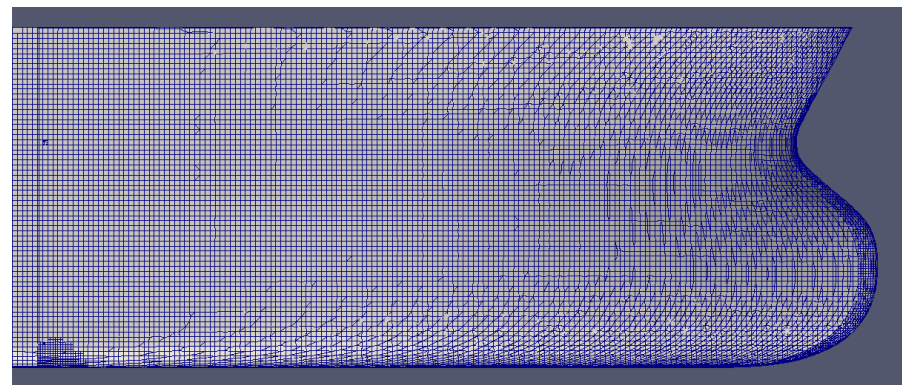
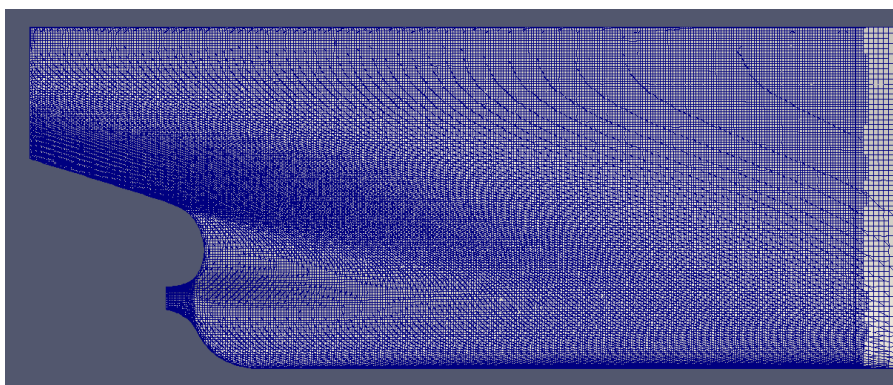
MP687

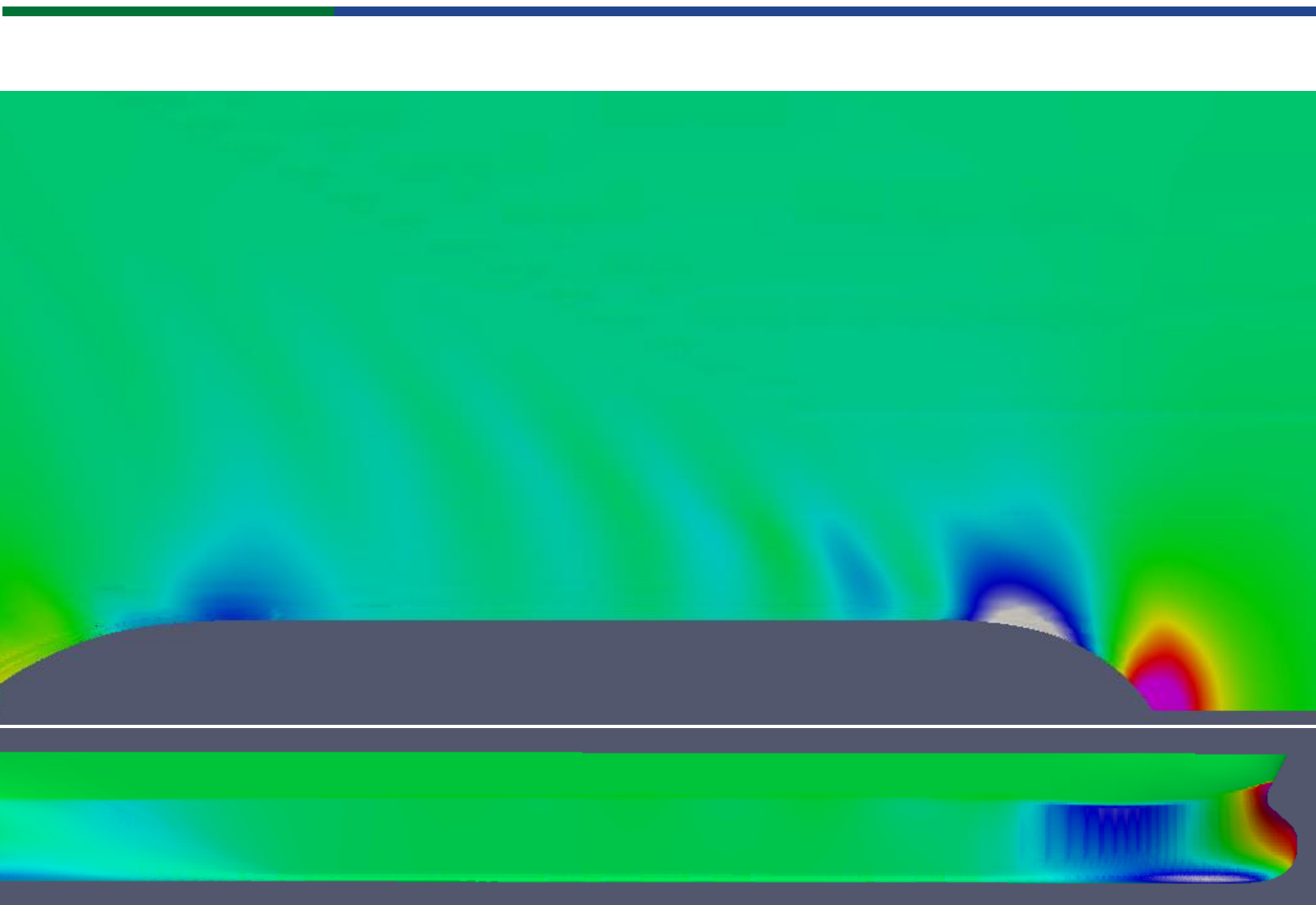




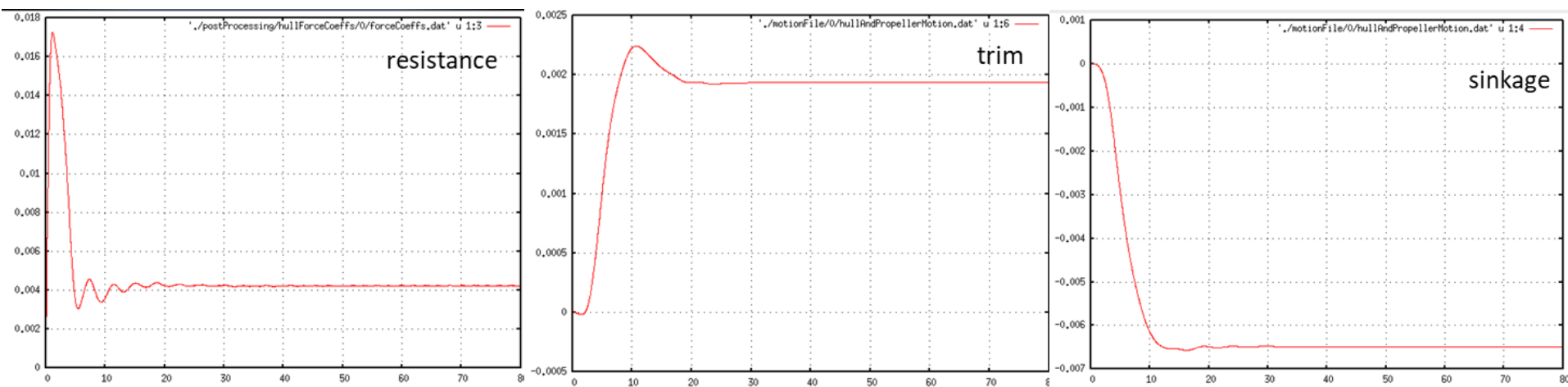
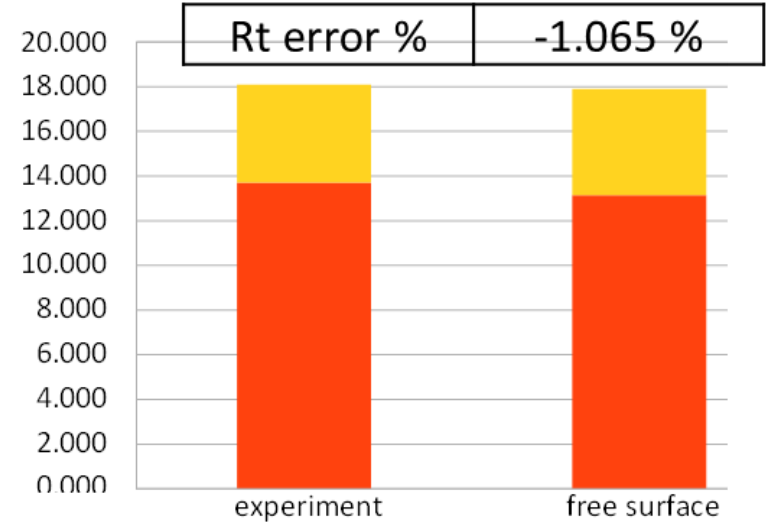
## 저항해석 – JBC 선형

- 유동 해석 : With free surface, free running attitude
  - $Re=6.5E+6$
  - 시간간격 0.025sec



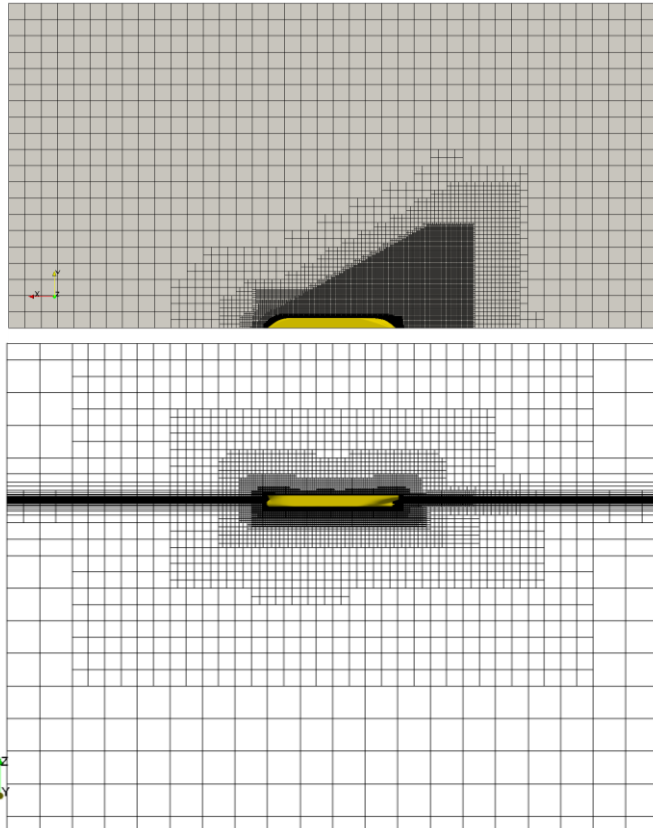


- 실험과의 저항값 비교 : 1.065% 오차
- 저항 값이 약 1.5% 진동함
  - 시간간격이 크기 때문에 수렴에 한계가 있음
    - $dt=0.025$ 초, CFL number = 약 95

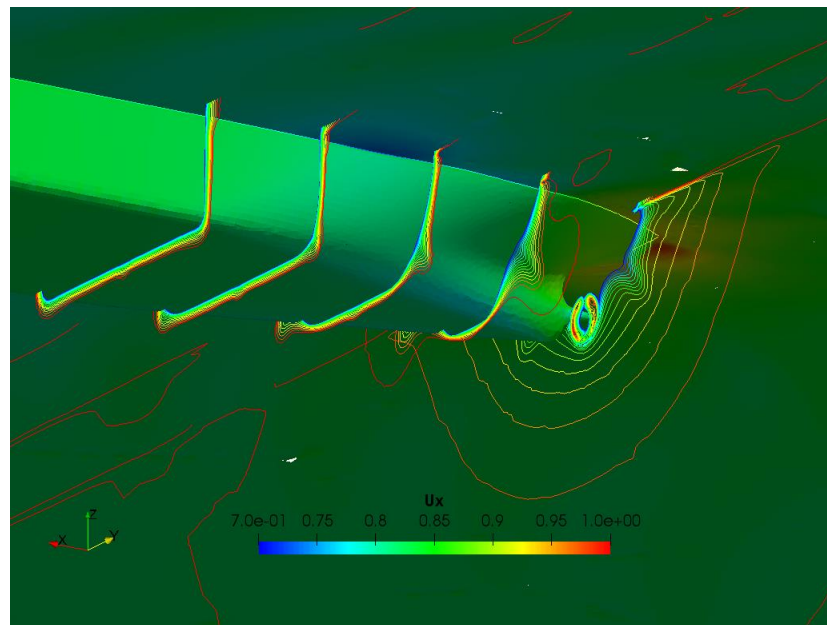


## 자항해석 – JBC 선형

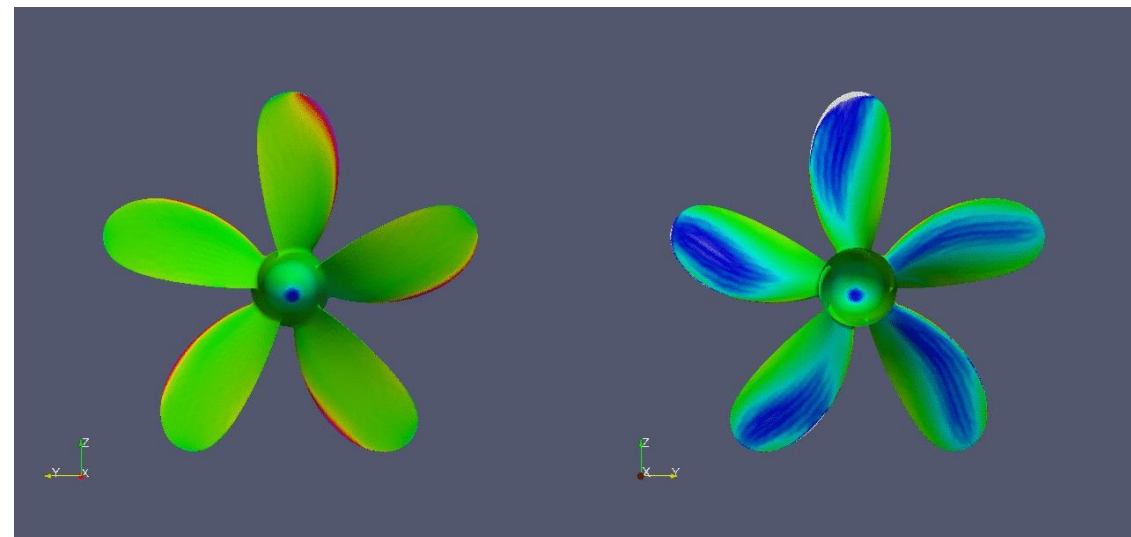
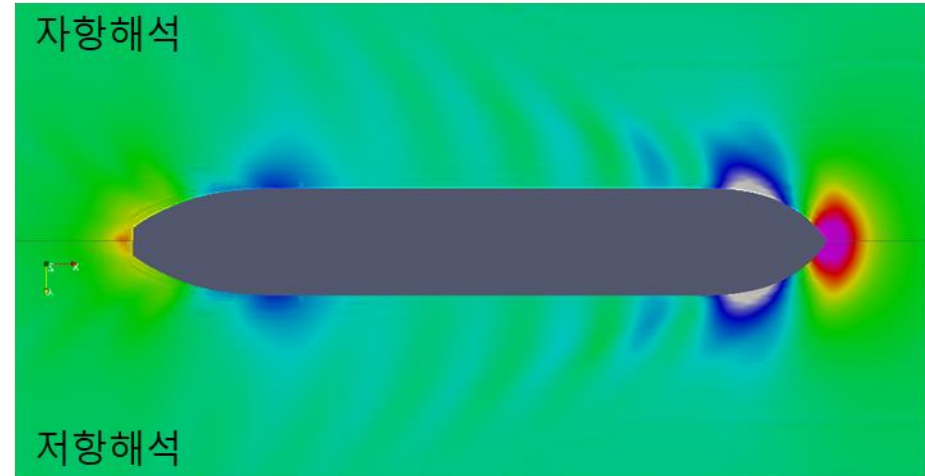
- 유동 해석 : With free surface, actuator disc
  - 저항해석과 동일한 조건에서 자항해석
    - 동일한 격자, 수치기법, 시간간격

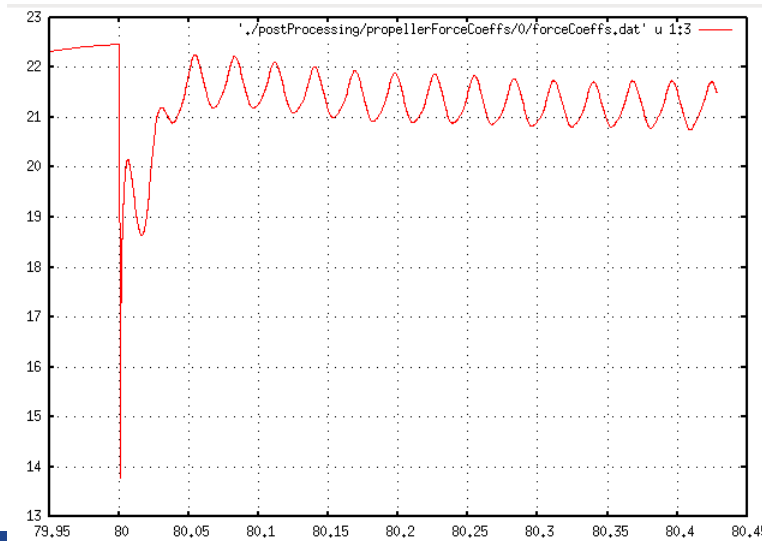
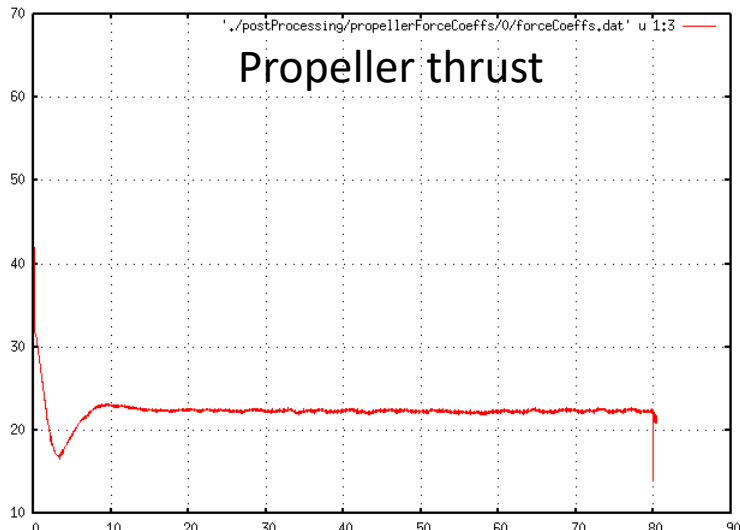
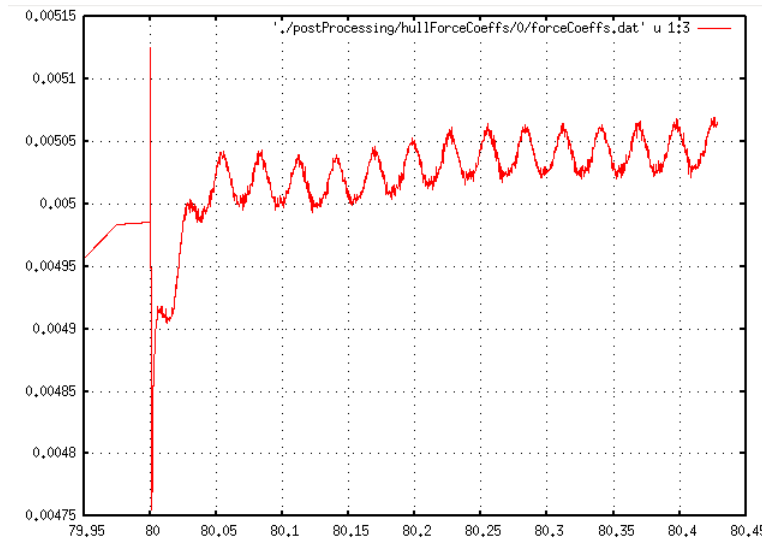
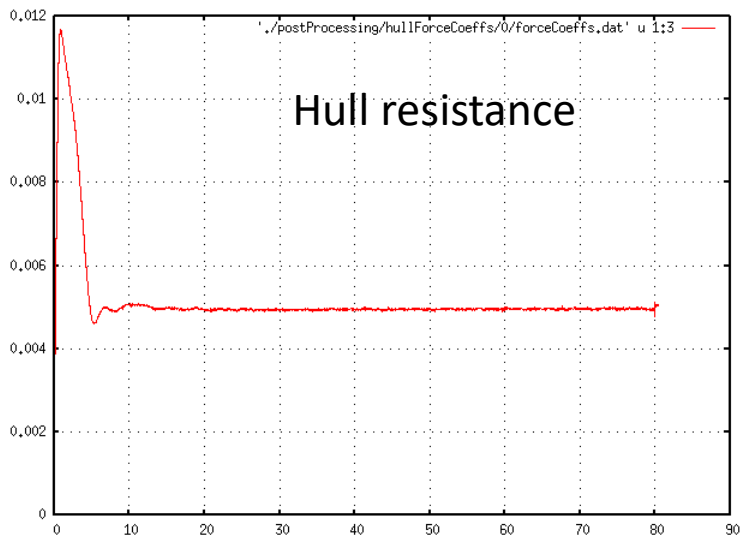


	Exp.	Present	Error
Total resistance (N)	40.844	41.344	1.22%
Frictional resistance (N)	26.818	26.783	-
Pressure resistance (N)	14.025	14.561	-
Thrust Coefficient, $K_T$	0.217	0.216	-0.24%
Torque Coefficient, $K_Q$	0.0279	0.0282	1.23%
Skin Friction Correction (N)	18.2	19.0	4.24%



- 유동 해석 : With free surface, rotating propeller
  - MRF 해석 후 Sliding mesh 해석





## – 실험결과와 비교

- JBC
- Ship speed : 1.1793 m/s, propeller RPS : 7.8

	Exp.	Present	Error
Total resistance (N)	40.844	42.95	5.18%
Frictional resistance (N)	26.818	26.43	-
Pressure resistance (N)	14.025	16.52	-
Thrust Coefficient, $K_T$	0.217	0.229	5.43%
Torque Coefficient, $K_Q$	0.0279	0.0290	4.08%
Skin Friction Correction (N)	18.2	19.3	6.27%



## 고속선 – 계산조건

- 저항해석
  - 축척비 : 1/12 (모형크기)
  - 속도 : 3.712 m/s (모형), 25 knots (실선)
  - 2가지 조건에서 계산 : even keel, trim -0.369 m (heave, pitch 자유)
- POW 해석
  - 축척비 : 1:1 (실선크기)
  - 전진비 : 0.65~1.00
- 자항해석
  - 축척비 : 1:1 (실선크기)
  - 속도 : 25 knots
  - 2가지 조건에서 계산 : even keel, trim -0.369 m (heave, pitch 자유)
    - Even keel : 1000 RPM, 1030 RPM
    - Trim -0.369 m : 990 RPM, 1010 RPM

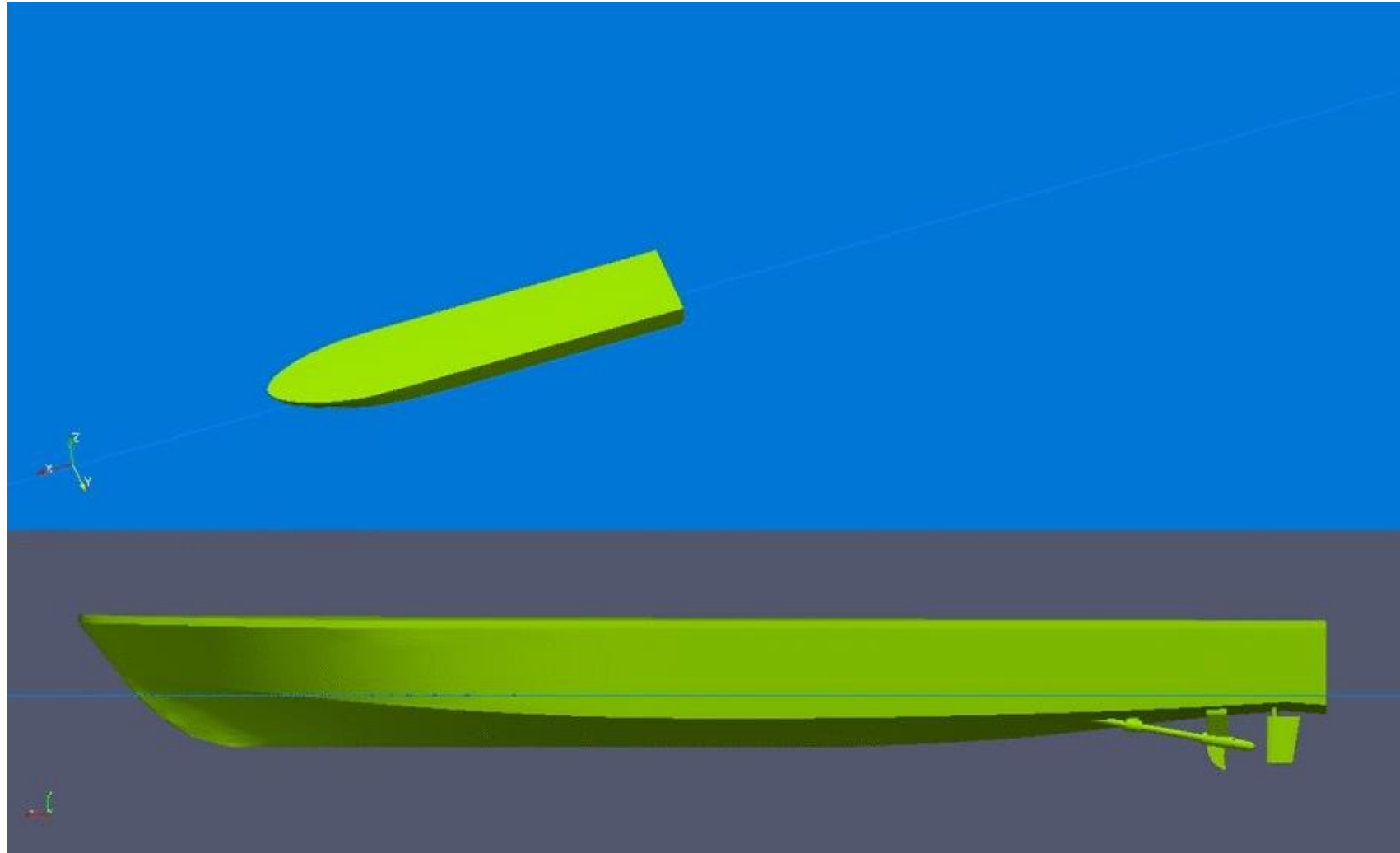


## 고속선 – 해석 결과(저항)

	Even keel		Trim -0.369m	
	Experiment	Calculation	Experiment	Calculation
$R_{TM}$ (N)	47.7	47.6	44.4	43.6
$R_{FM}$ (N)	17.3	21.4	17.4	19.7
$R_{PM}$ (N)	30.4	26.2	27.0	23.8
$C_{TS}$ ( $Ca=0.4e-3$ )	8.01	8.00	7.43	7.27
$R_{TS}$ (N)	74.4	74.3	68.5	67.1
Trim (deg)	1.43	1.20	2.89	4.70
Sinkage (m)	0.27	0.06	-0.014	-0.003

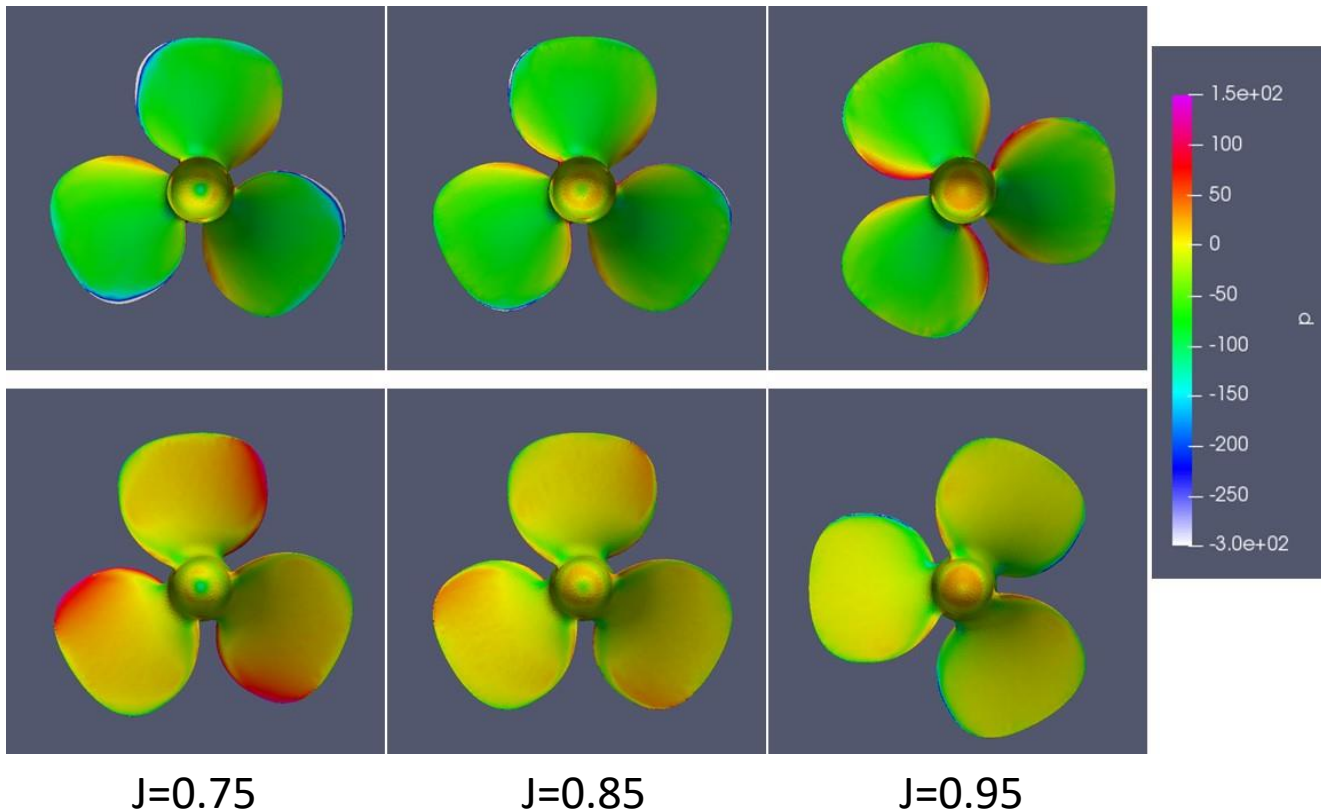
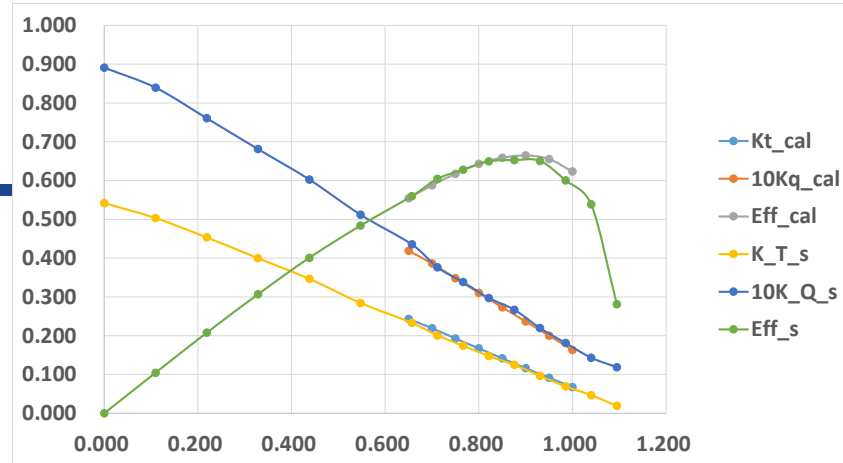
- 저항해석 오차
  - 저항 : 1.8 %
  - Trim : 1.8 deg
  - Sinkage : 0.21 m

- Even keel



# 고속선 – 해석결과(POW)

- 수치해석 결과
  - POW 해석 오차 : 약 5%



$J=0.75$

$J=0.85$

$J=0.95$



## 고속선 – 해석결과(자항)

### – 자항성분

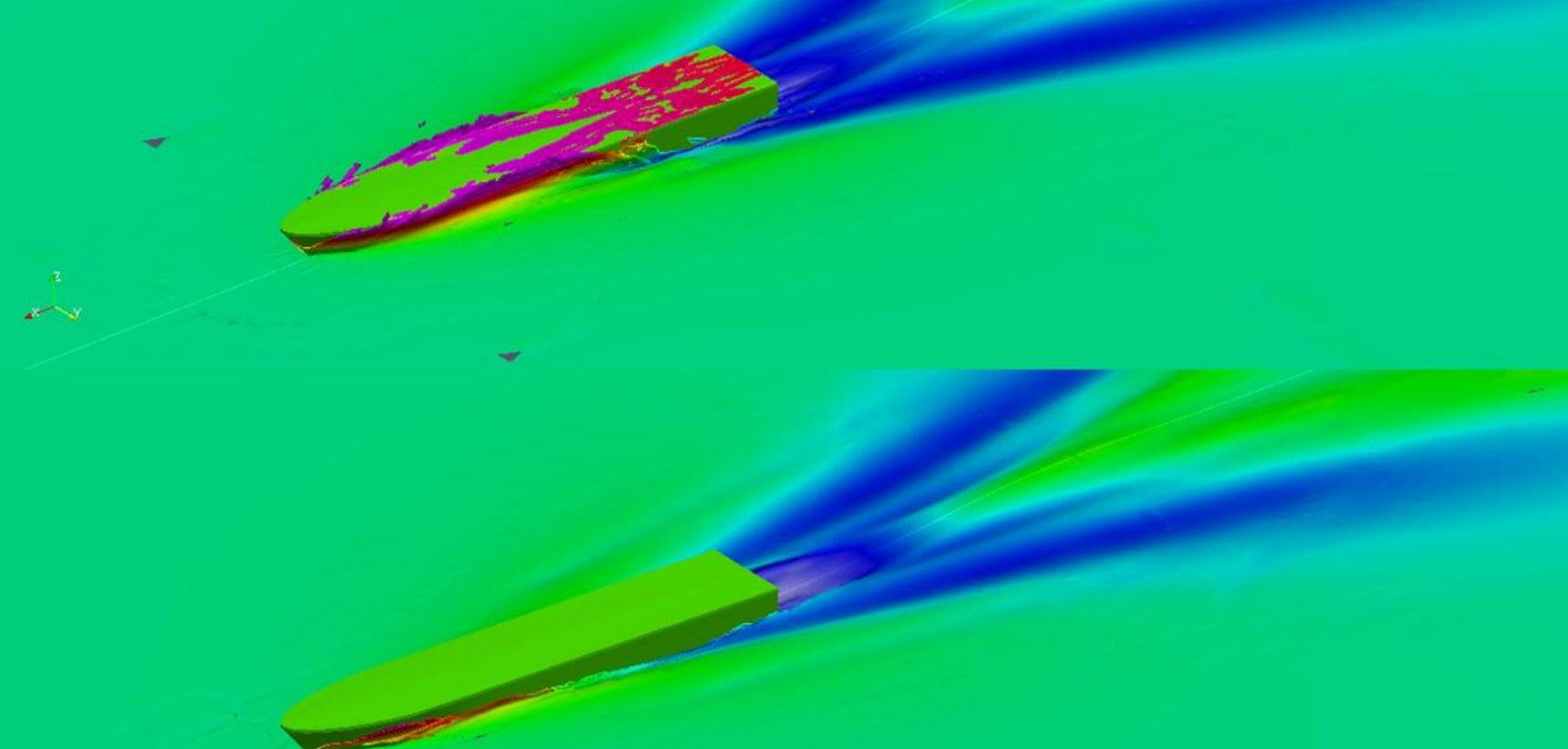
	$\eta_H$	$\eta_R$	$\eta_0$	$\eta_D$
Even keel	0.947	0.991	0.644	0.604
Trim -0.369m	0.946	0.983	0.647	0.602

$$\eta_D = \eta_H \times \eta_R \times \eta_0$$

$$\eta_H = \frac{1-t}{1-w} \quad \eta_R = \frac{Q_0}{Q} \quad \eta_0 \text{ from POW test}$$

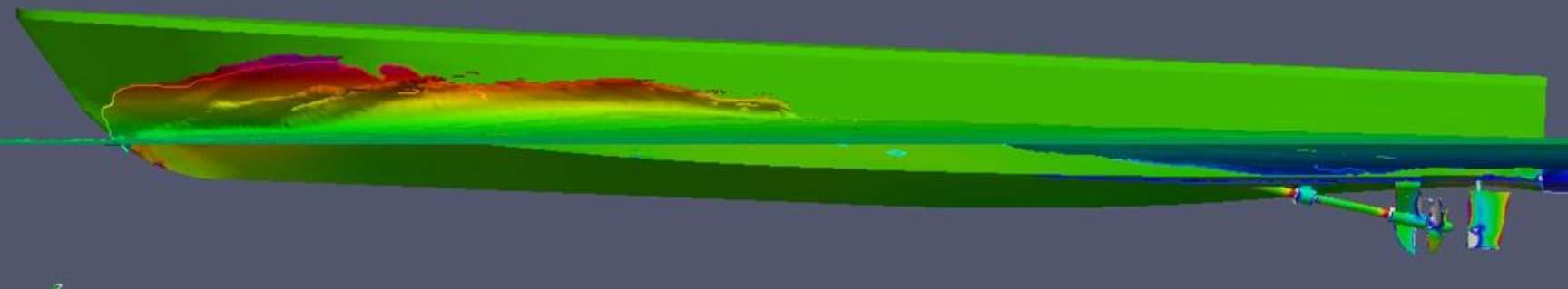
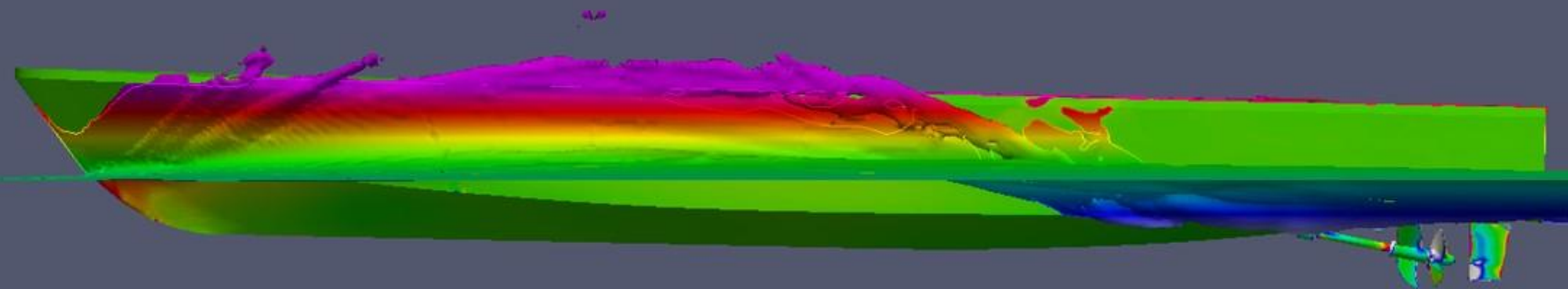
	$J_v$	$J_a$	$w$	$t$	$Q_0(\text{Nm})$	$Q (\text{Nm})$
Even keel	0.795	0.789	0.0076	0.0605	7135	7200
Trim -0.369m	0.817	0.806	0.0135	0.0666	6400	6509

Even keel 1000 RPM



Trim -0.369m 990 RPM

Even keel 1000 RPM



Trim -0.369m 990 RPM

- 1000 RPM even keel condition

